

FIG. 1

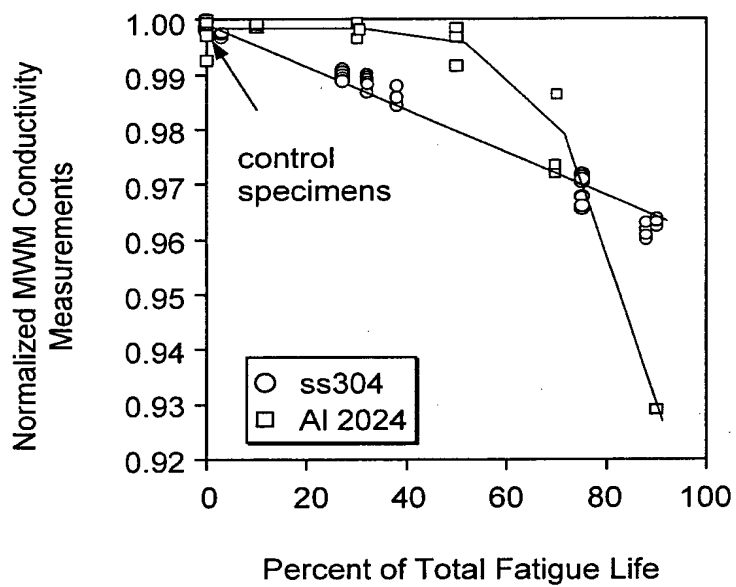


FIG. 2

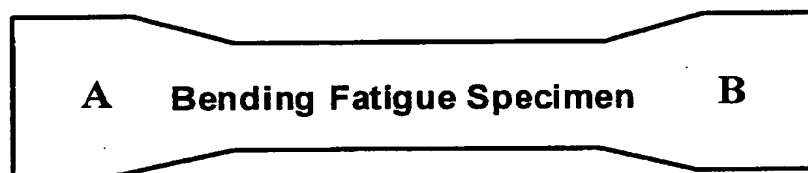


FIG. 3a

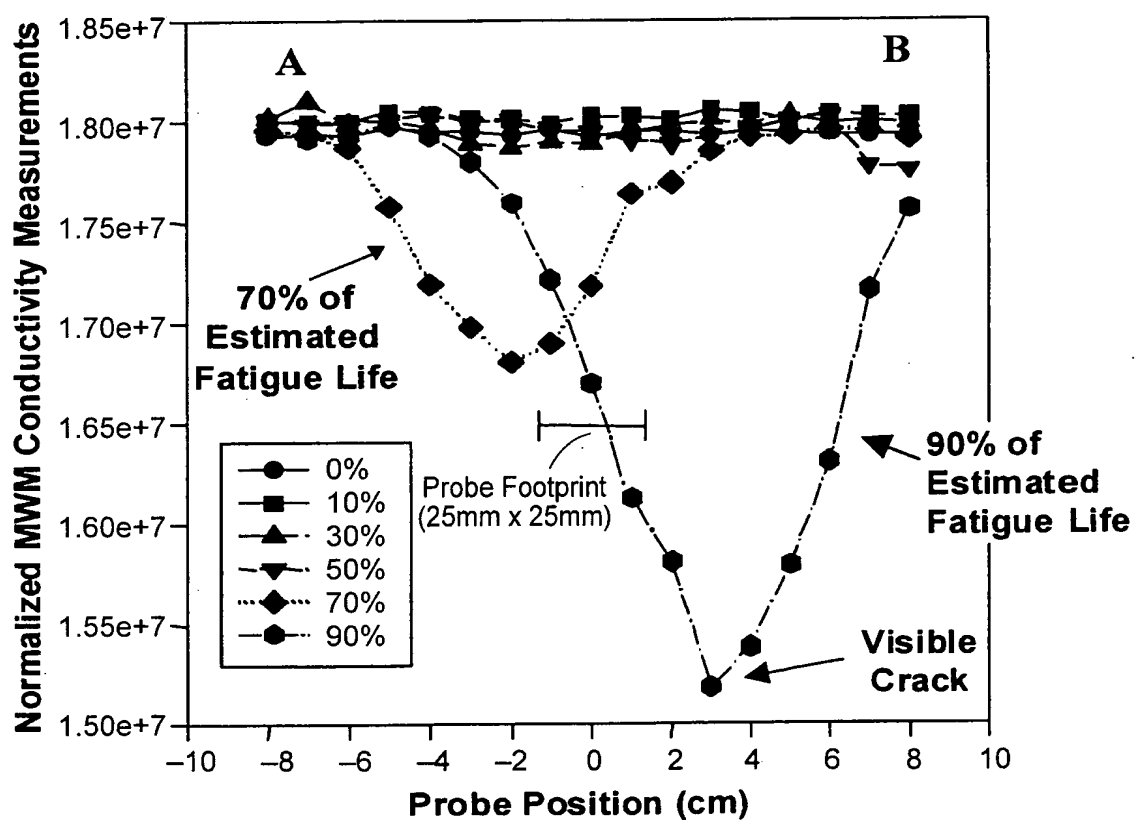


FIG. 3b

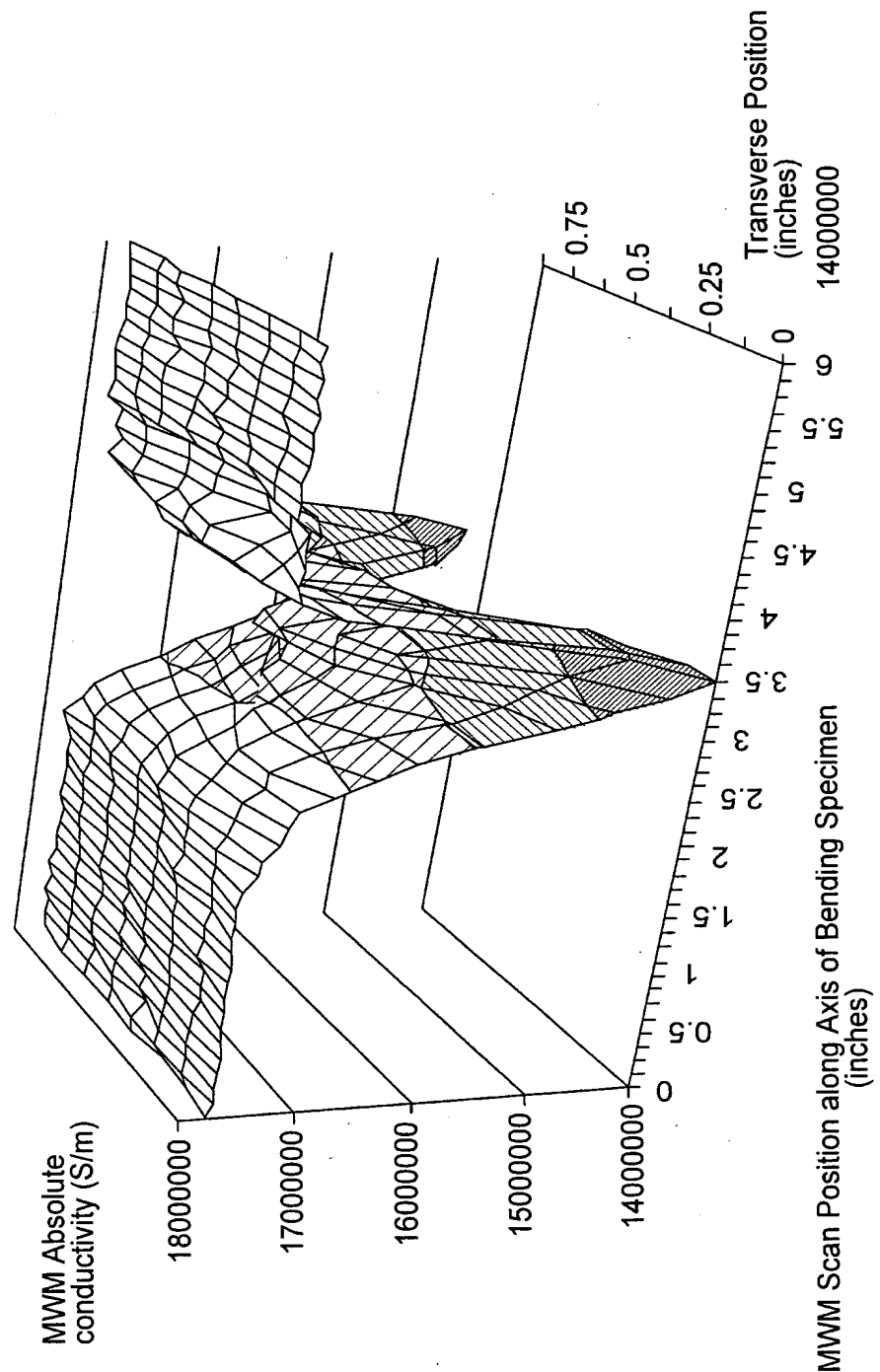


FIG. 4a

4/65

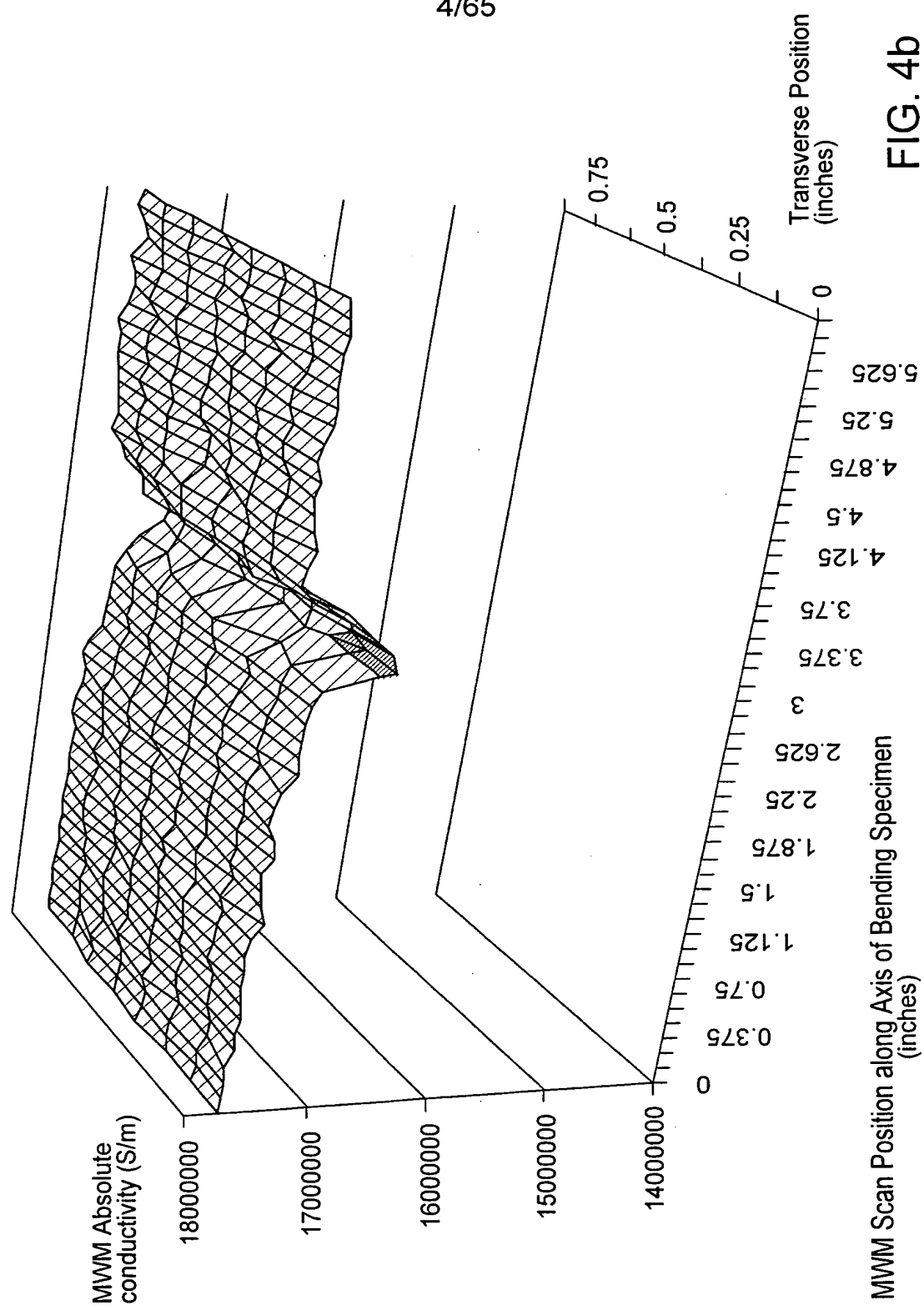


FIG. 4b

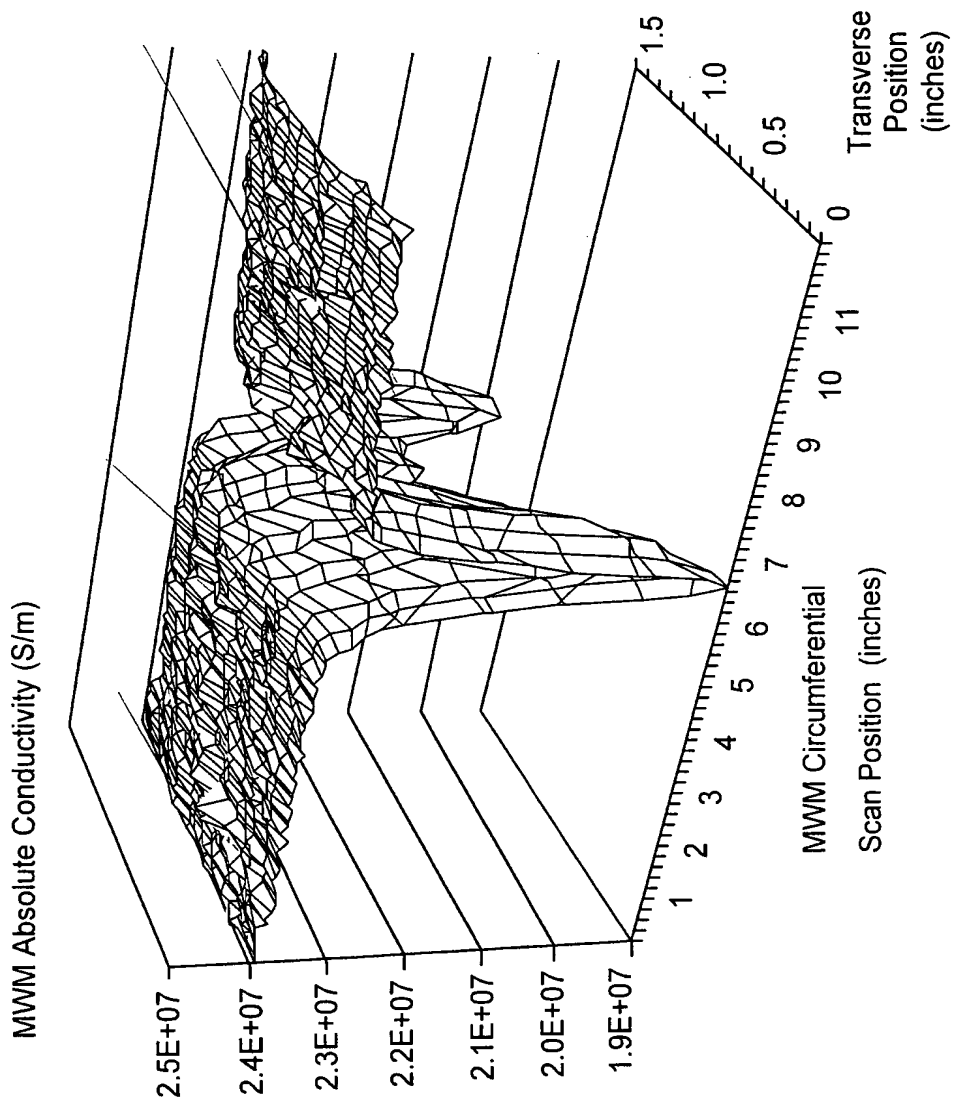


FIG. 5a

6/65

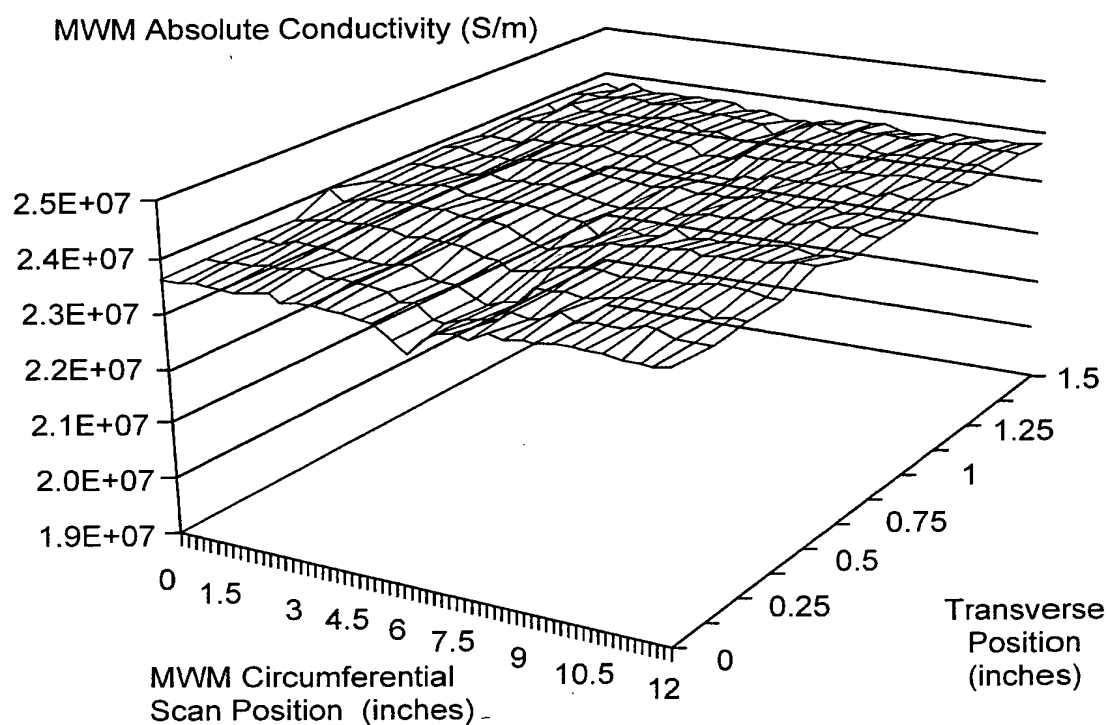


FIG. 5b

7/65

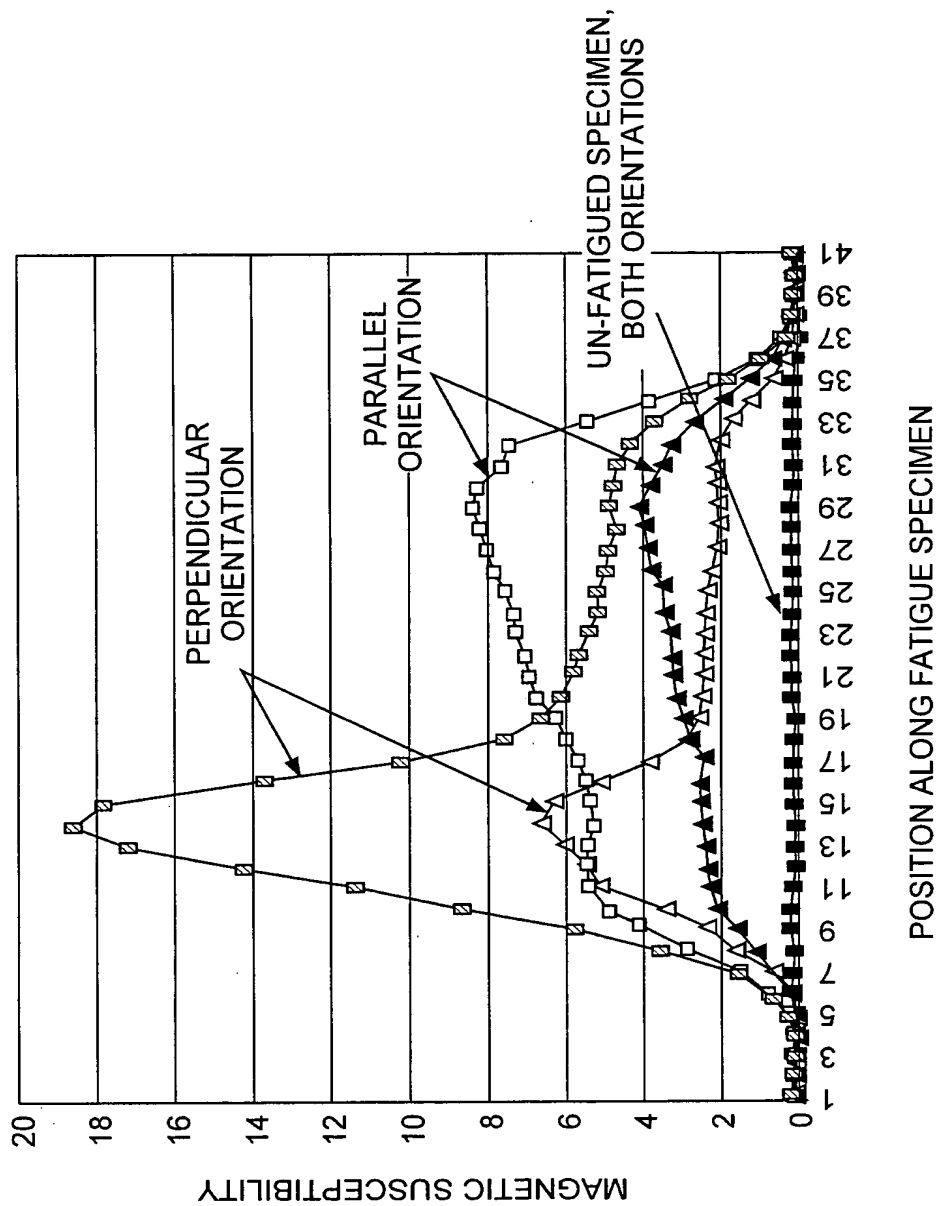


FIG. 6

8/65

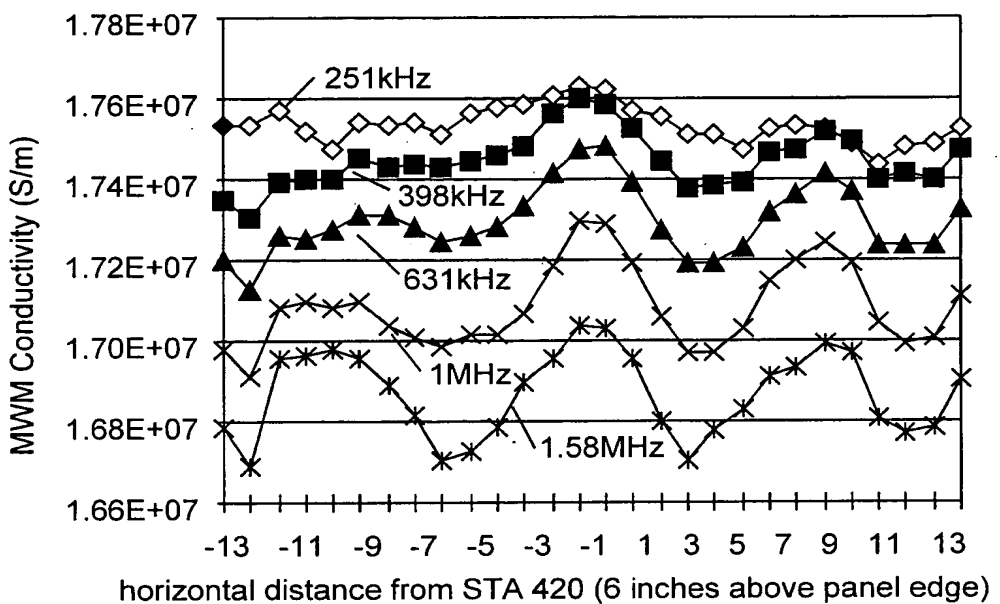


FIG. 7a

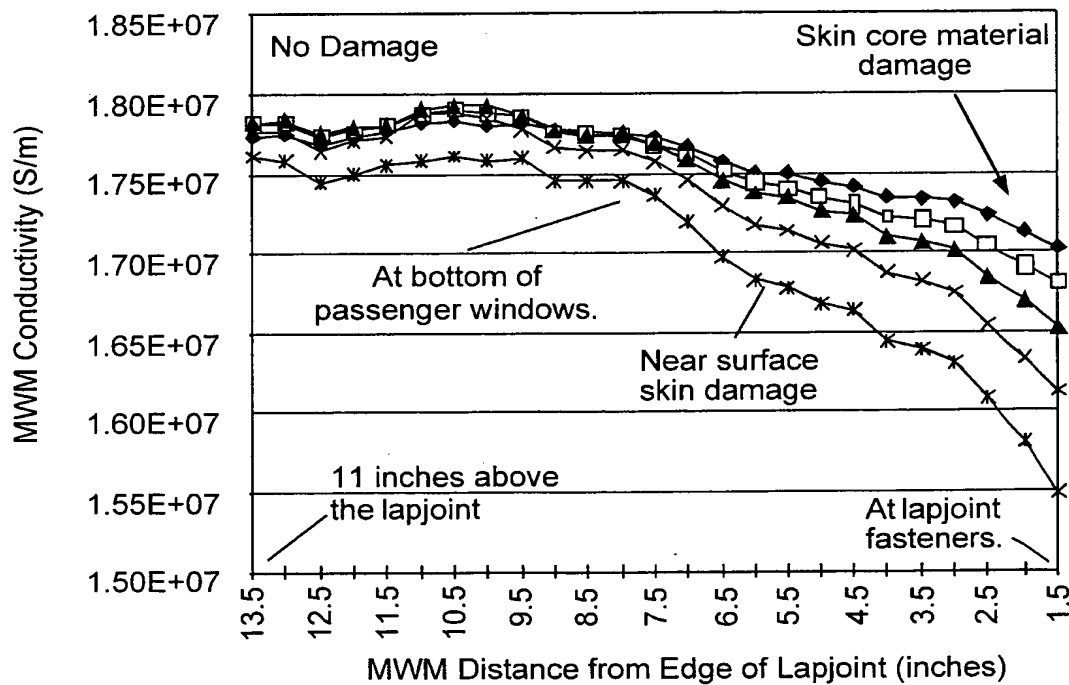


FIG. 7b

9/65

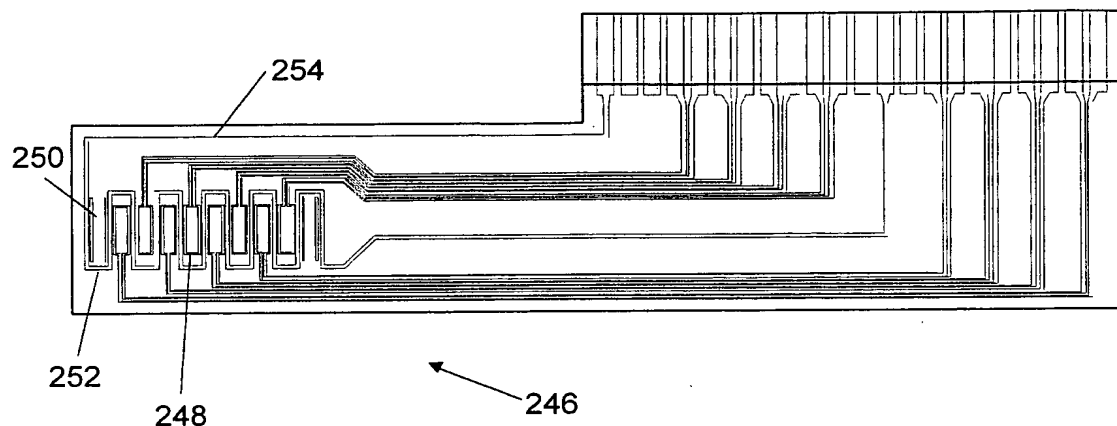


FIG. 8a

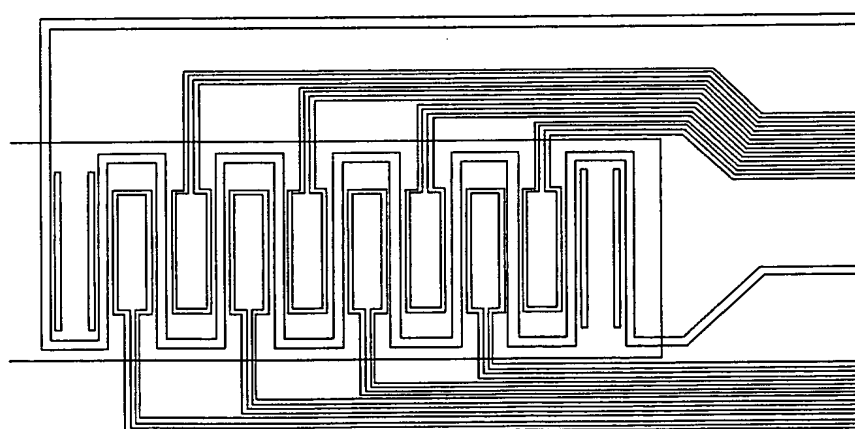


FIG. 8b

10/65

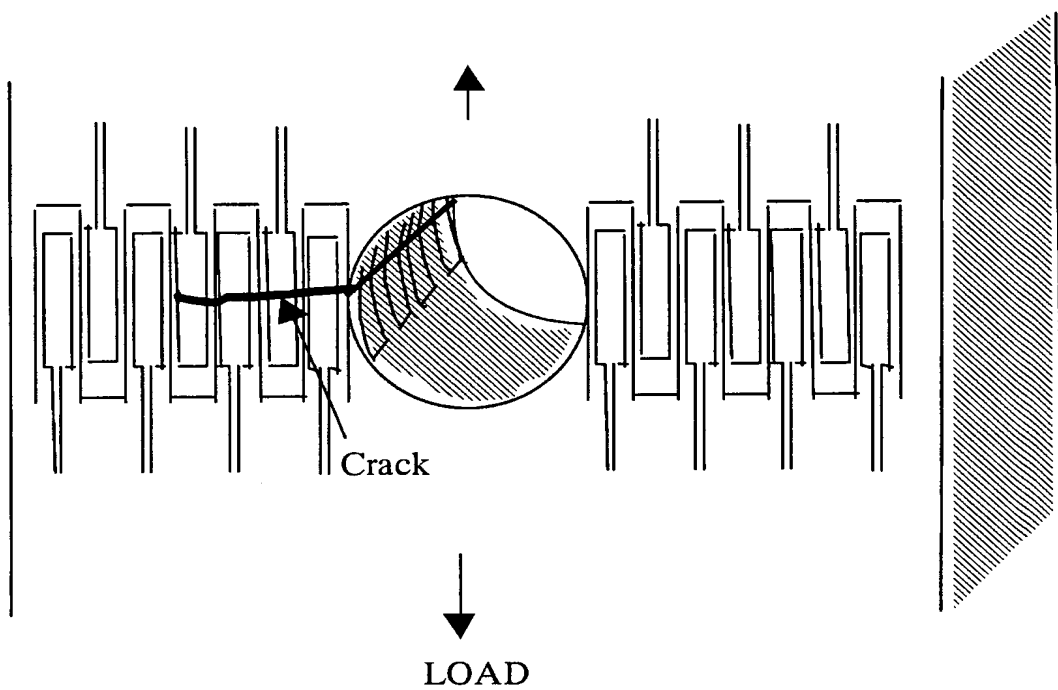


FIG. 9

11/65

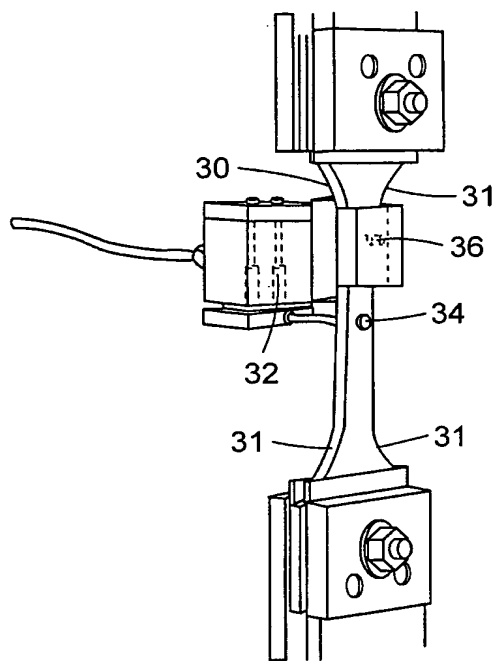


FIG. 10

12/65

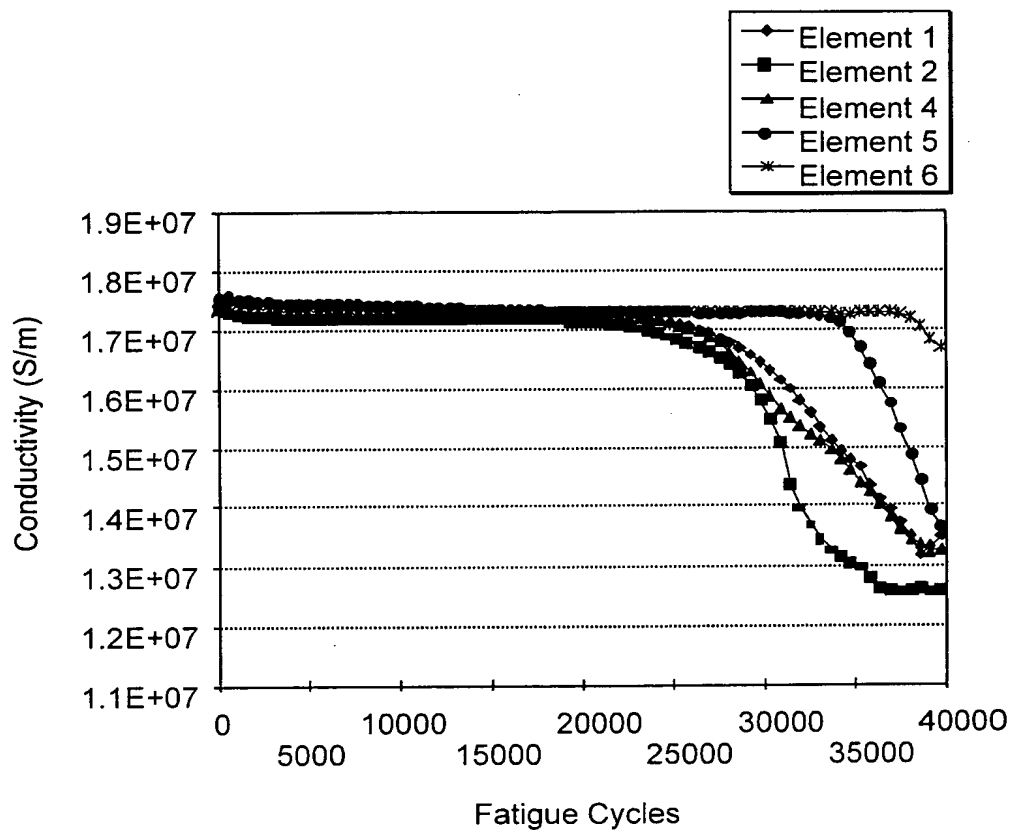


FIG. 11a

13/65

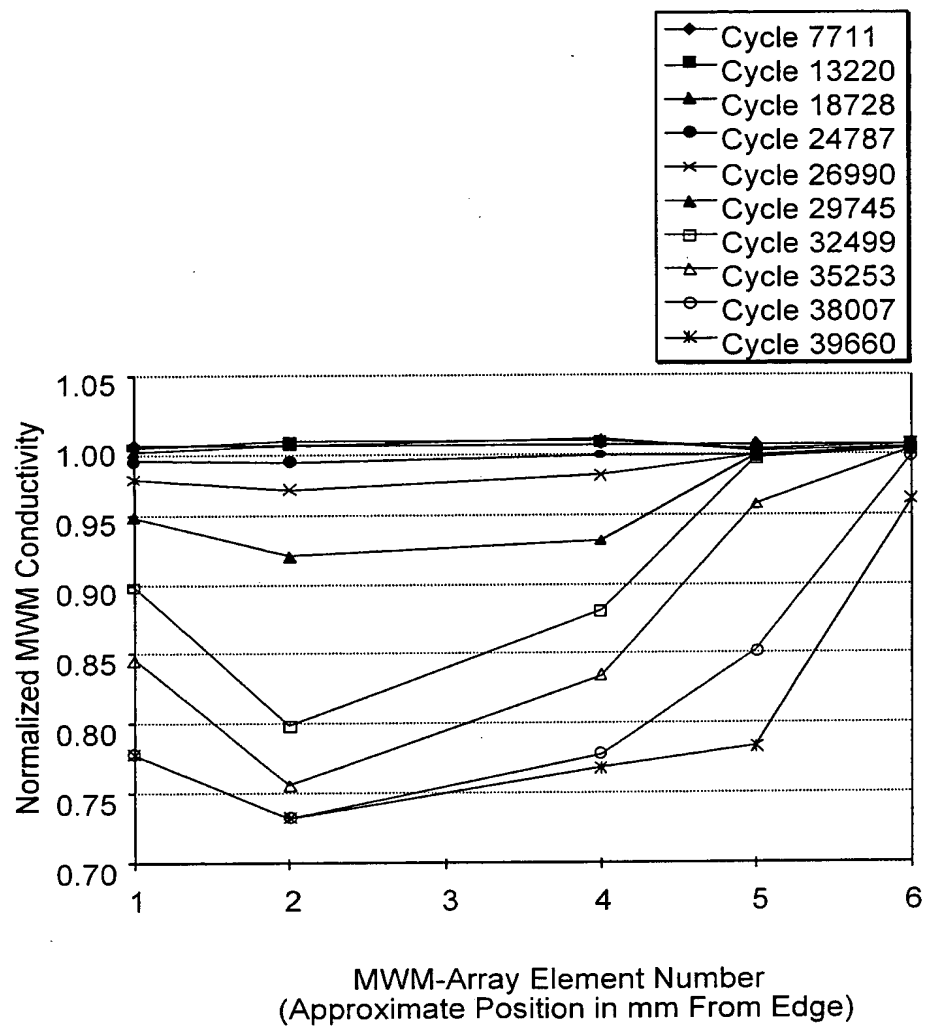


FIG. 11b

14/65

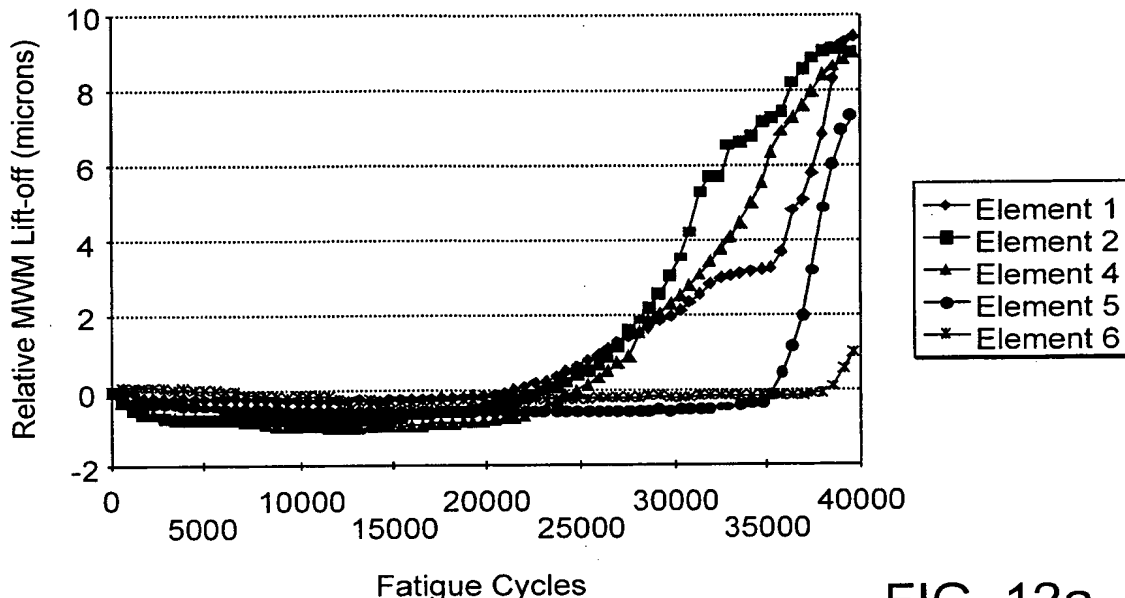


FIG. 12a

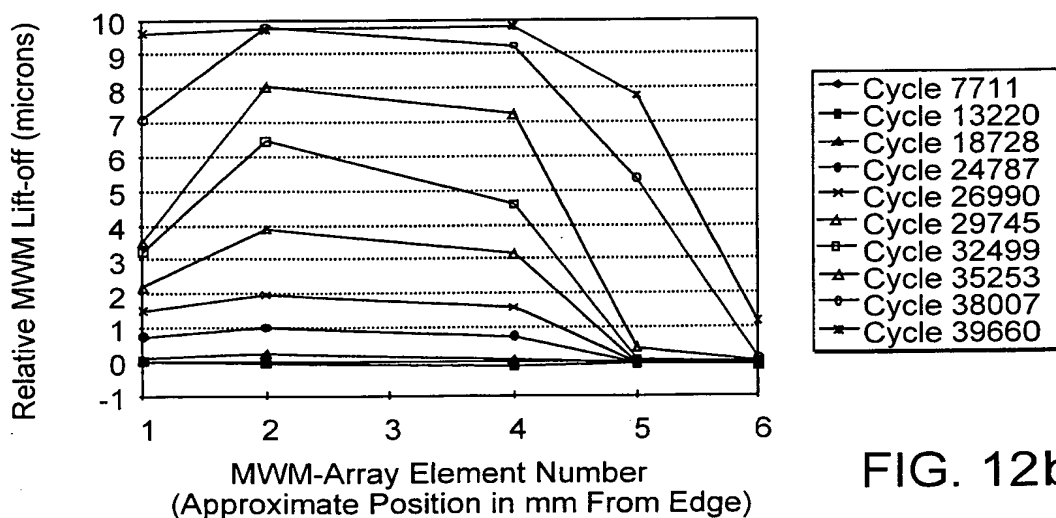


FIG. 12b

15/65

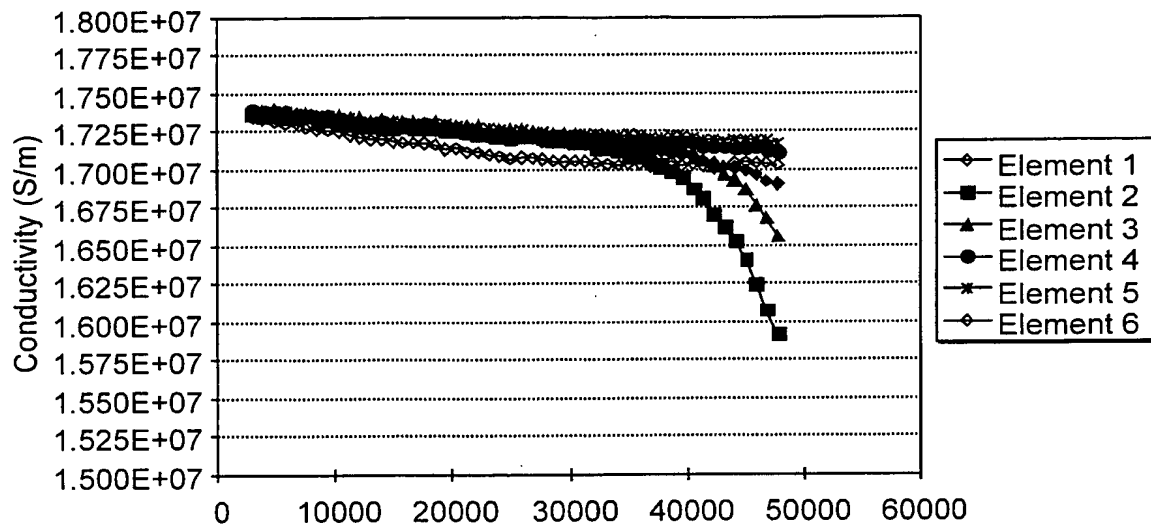


FIG. 13a

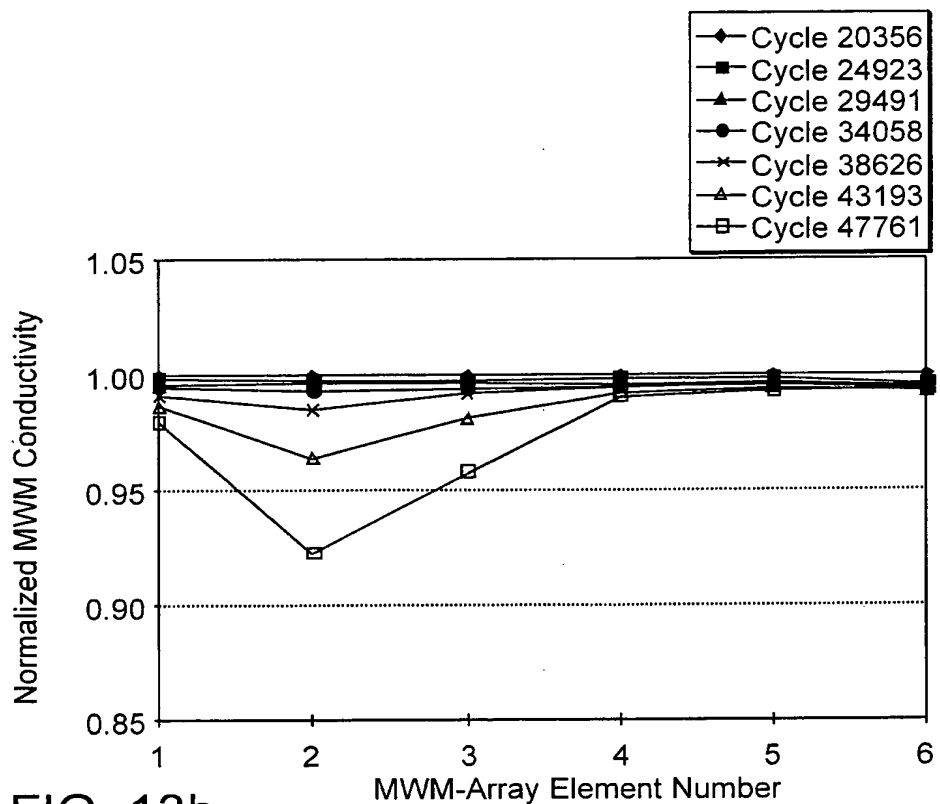


FIG. 13b

16/65

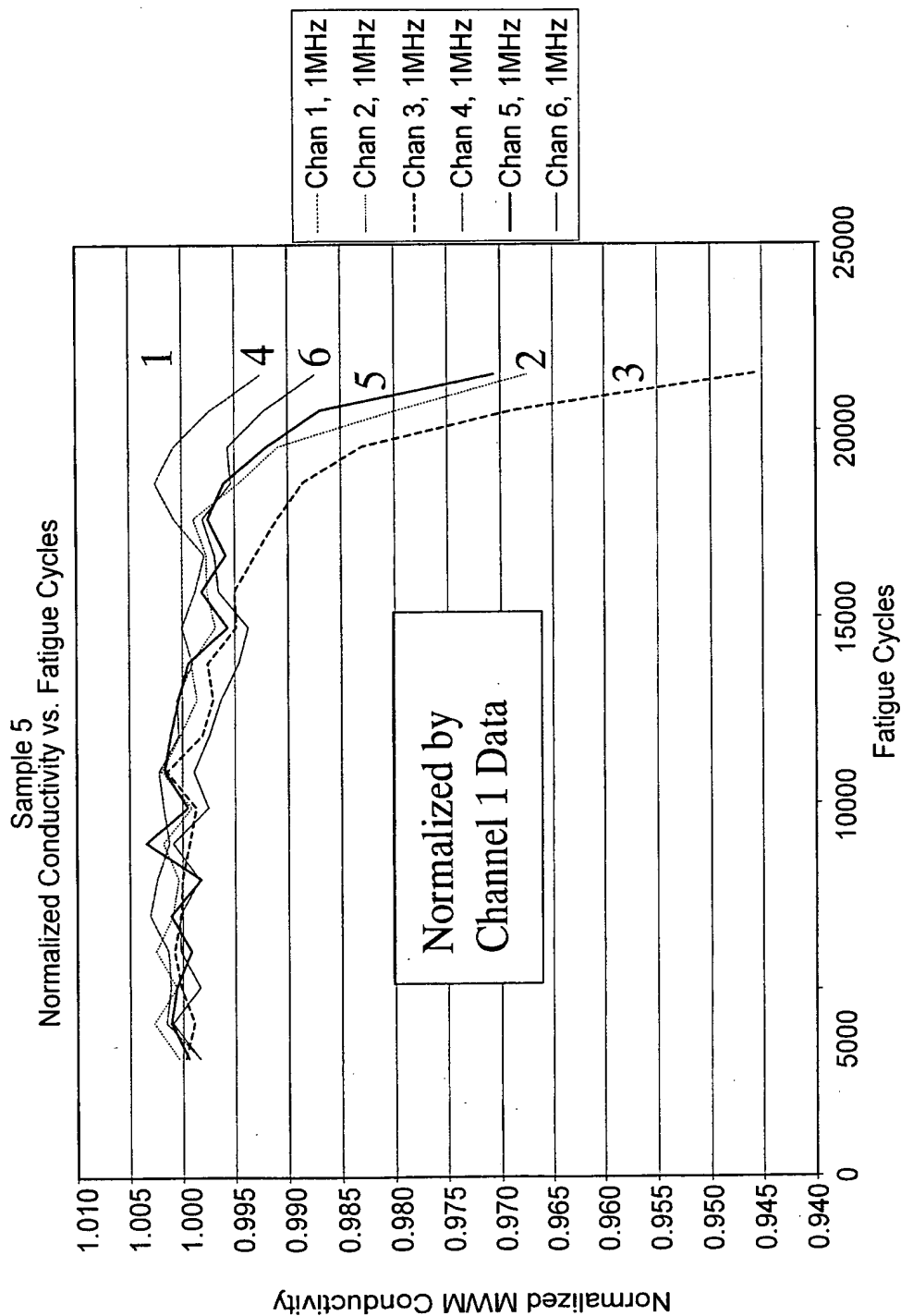


FIG. 14a

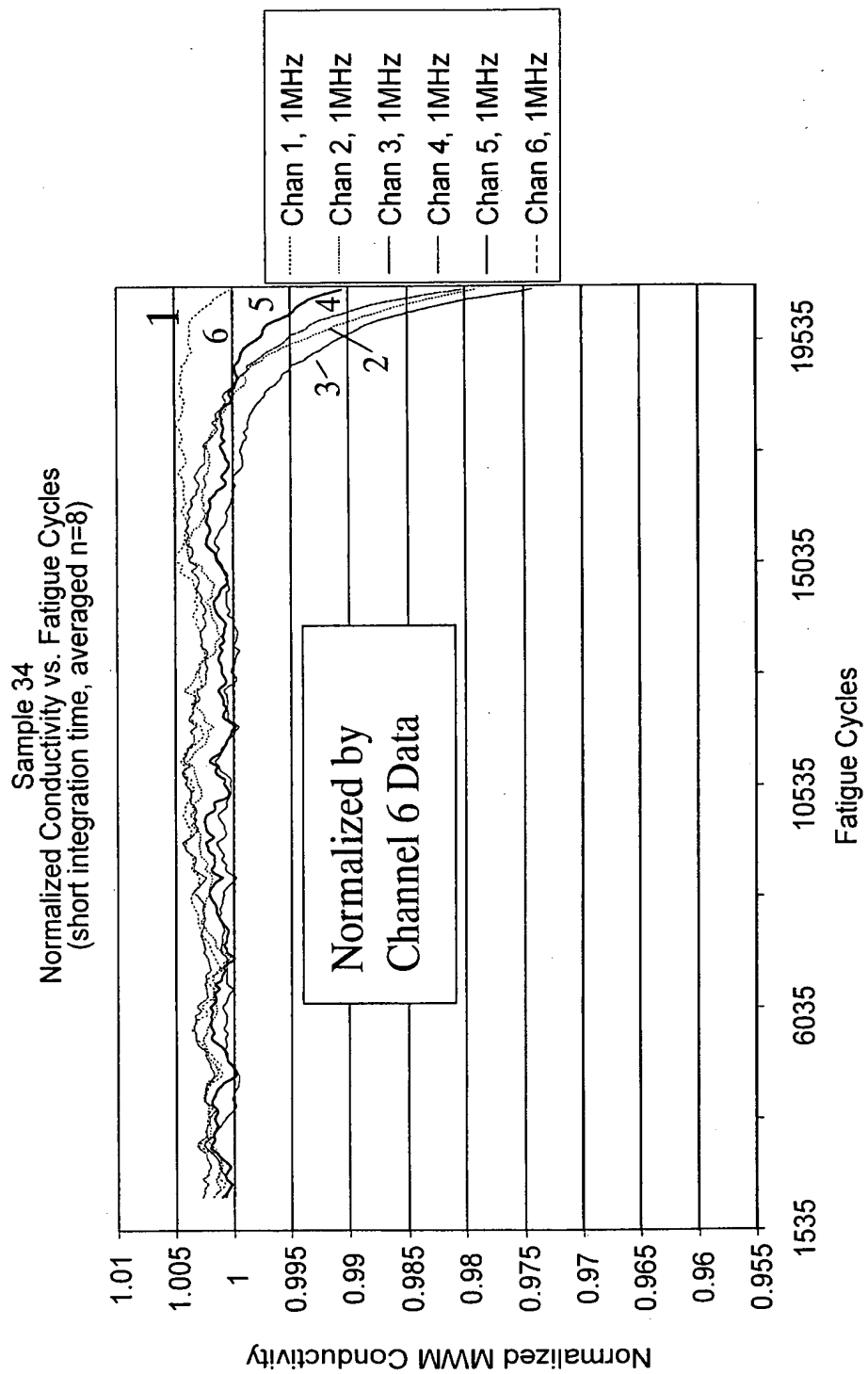


FIG. 14b

18/65

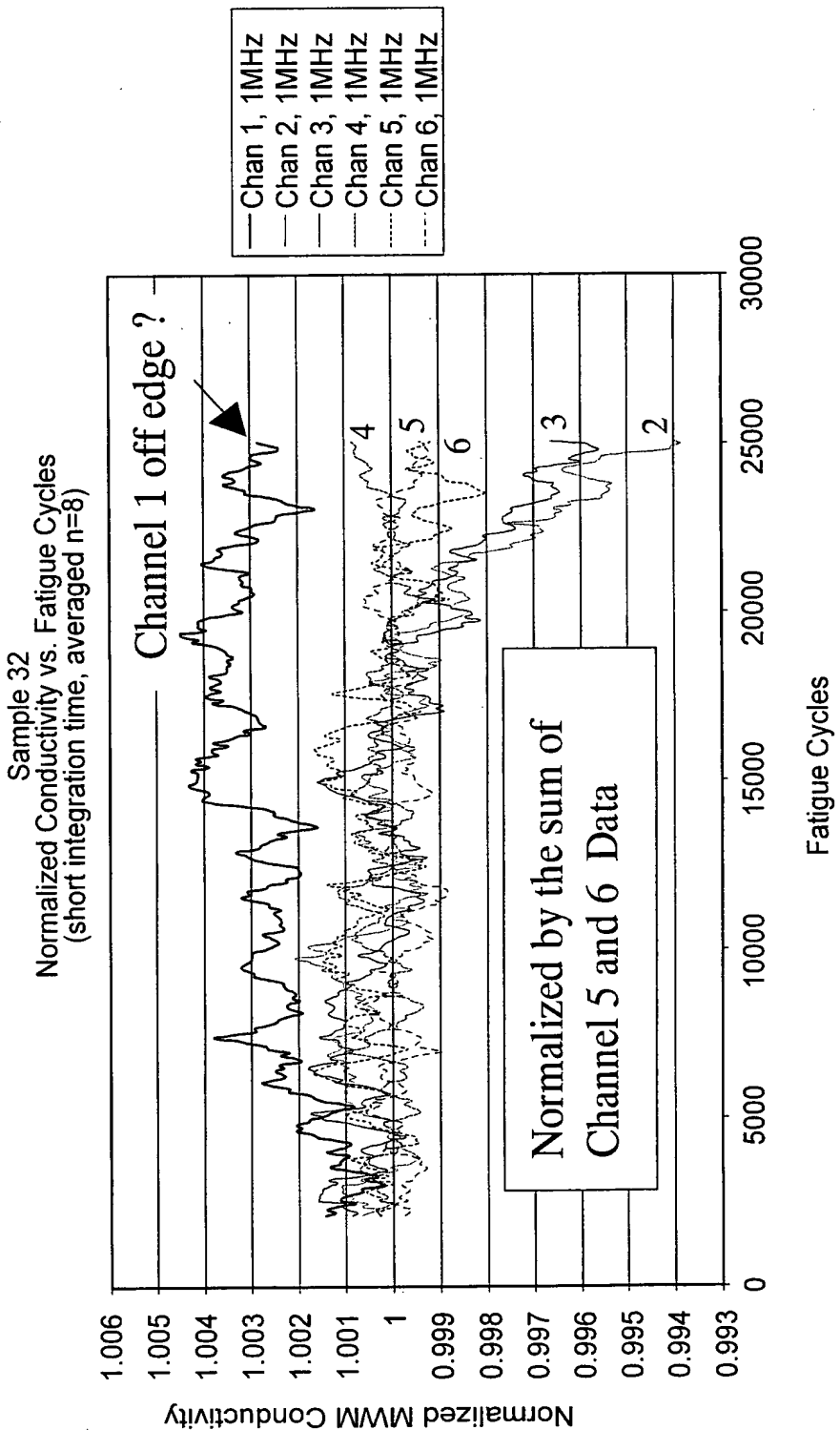


FIG. 14c

19/65

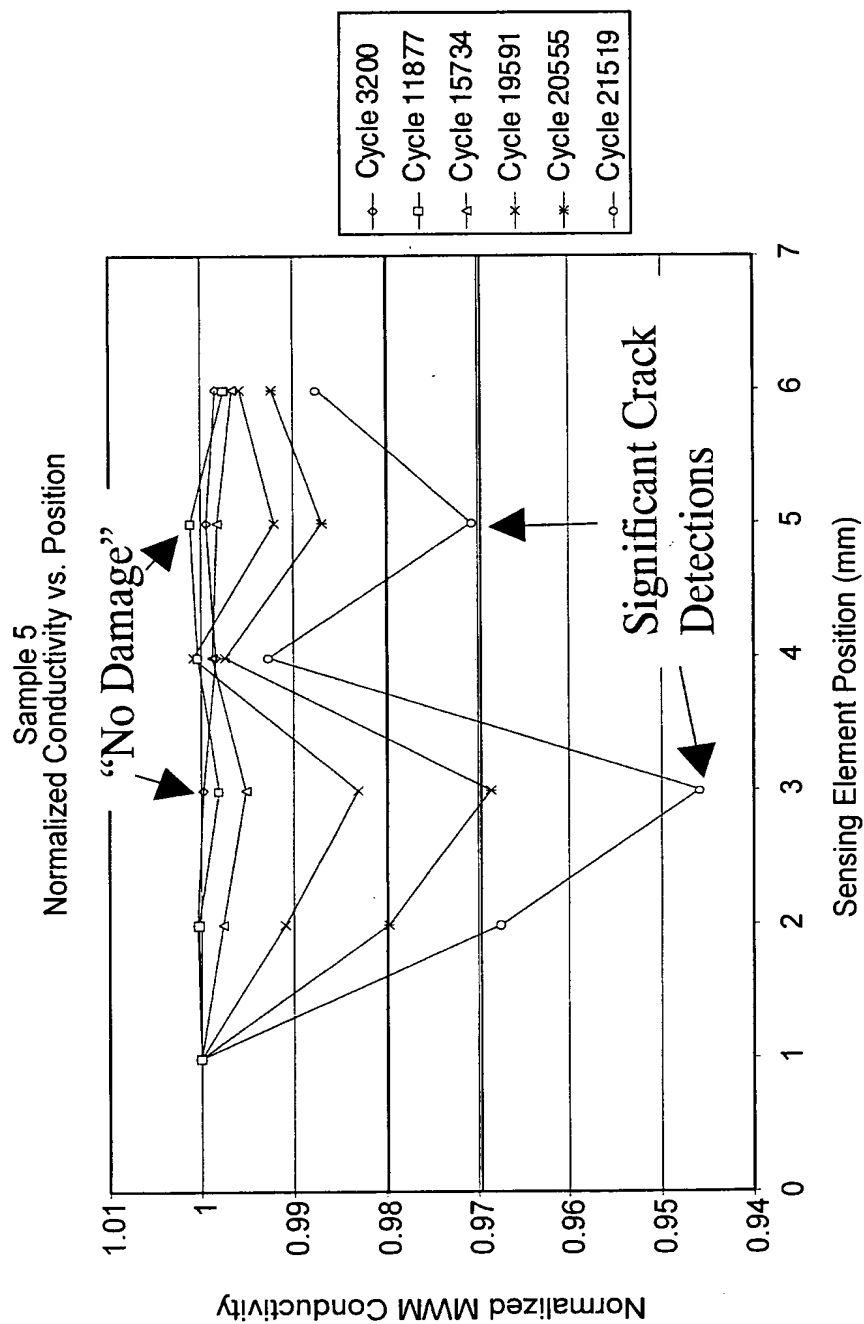


FIG. 15a

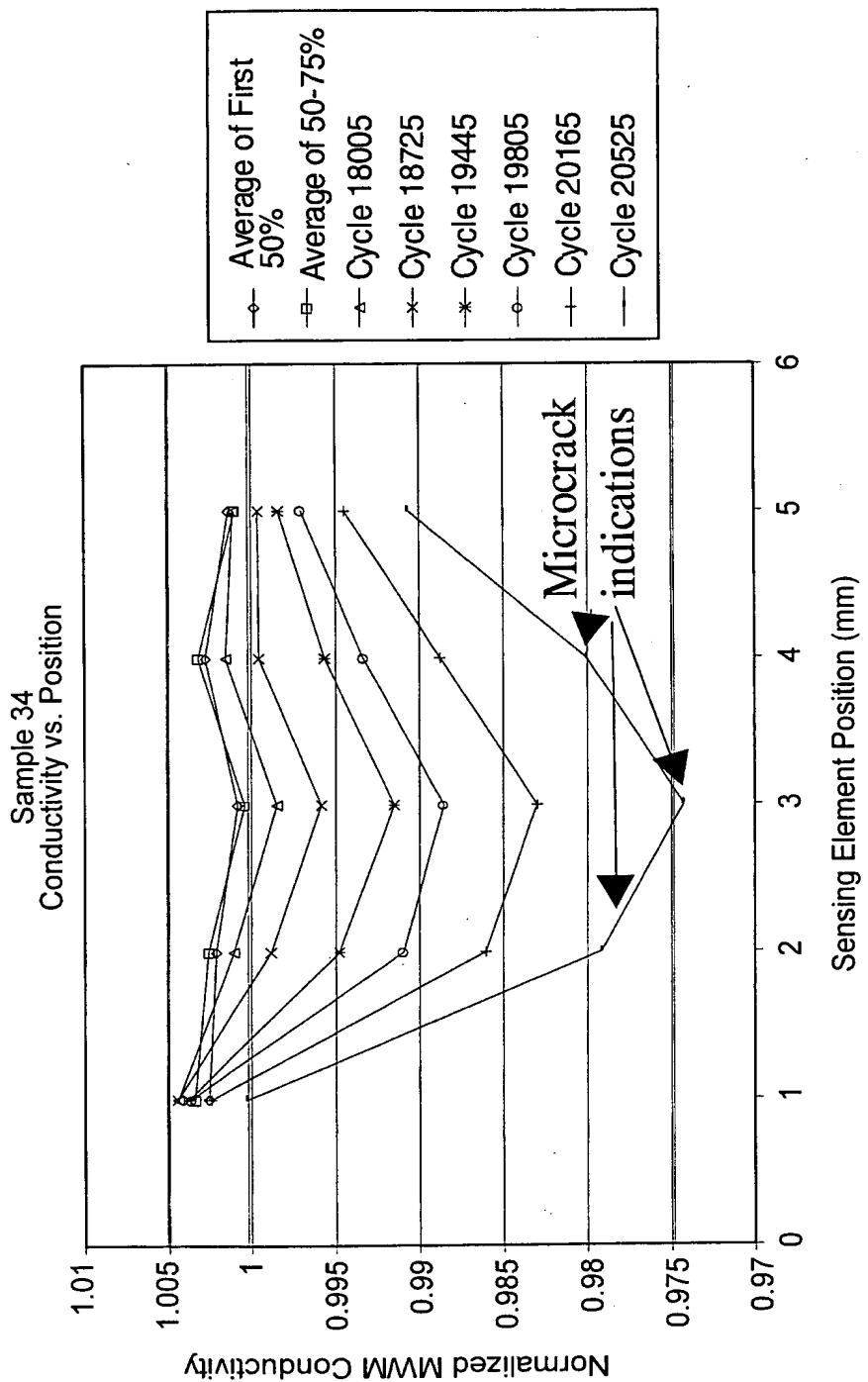


FIG. 15b

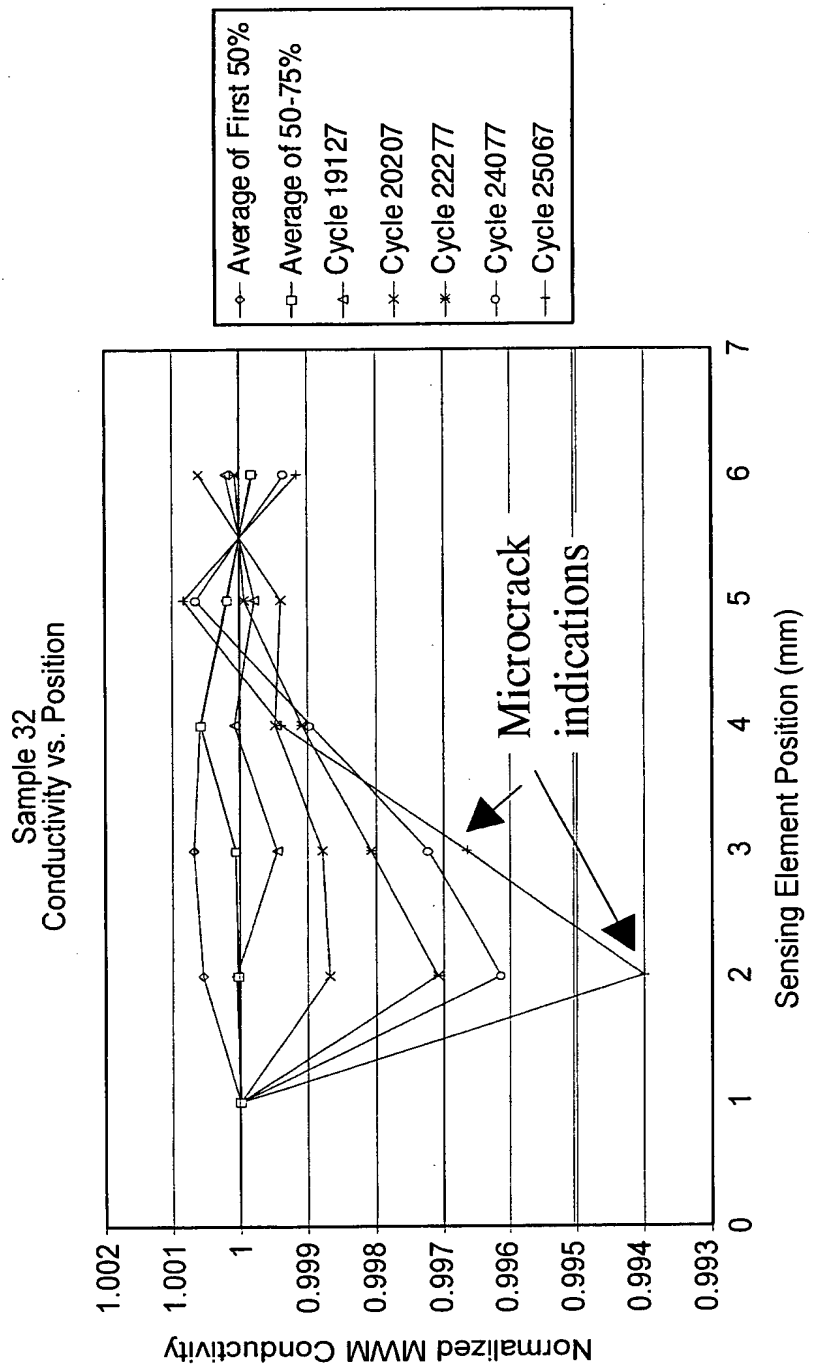


FIG. 15C

22/65

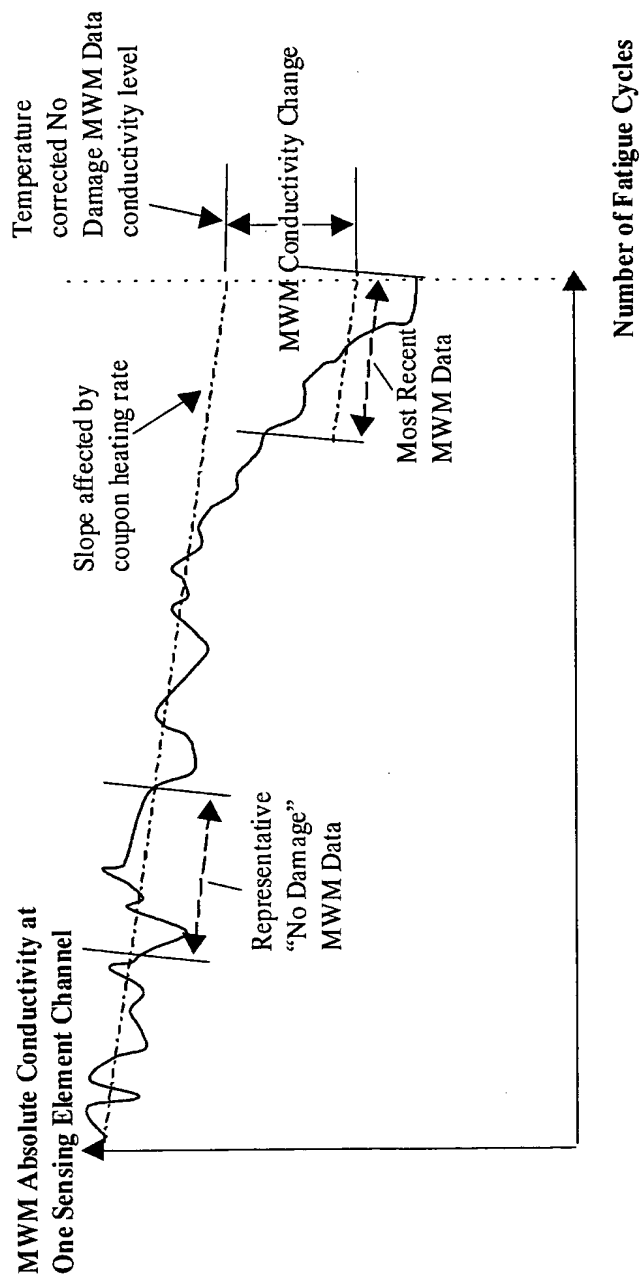


FIG. 16

23/65

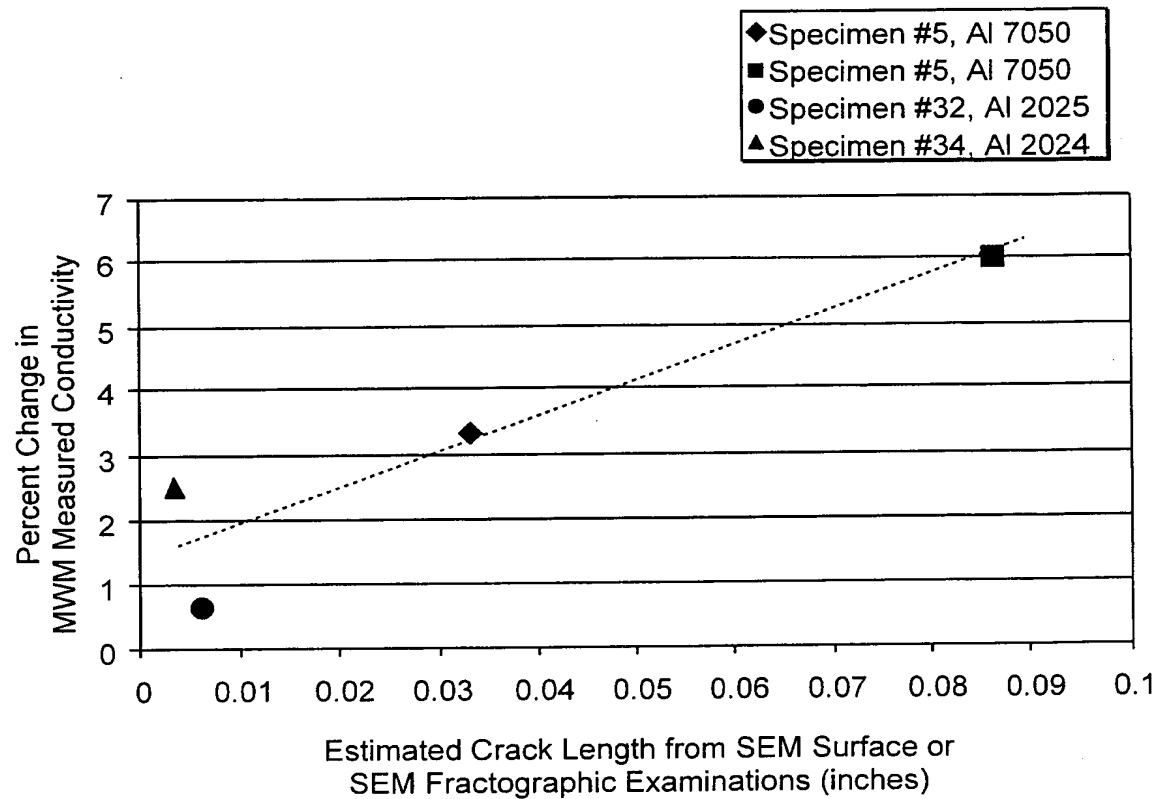


FIG. 17

24/65

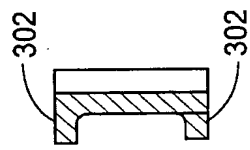


FIG. 18c

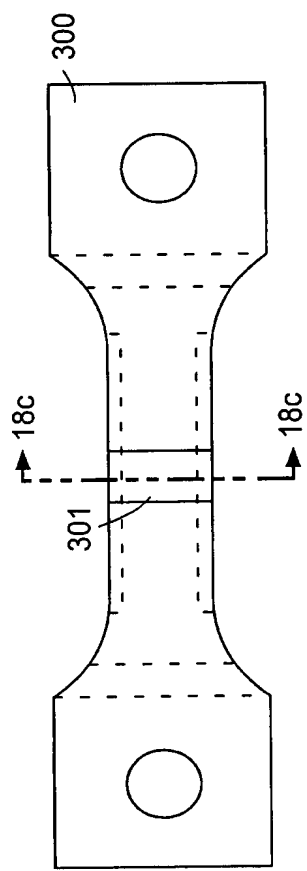


FIG. 18a

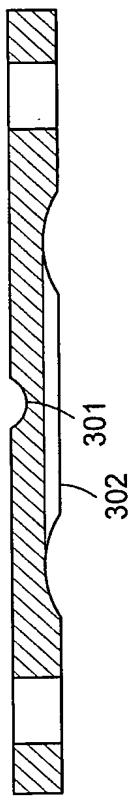


FIG. 18b

25/65

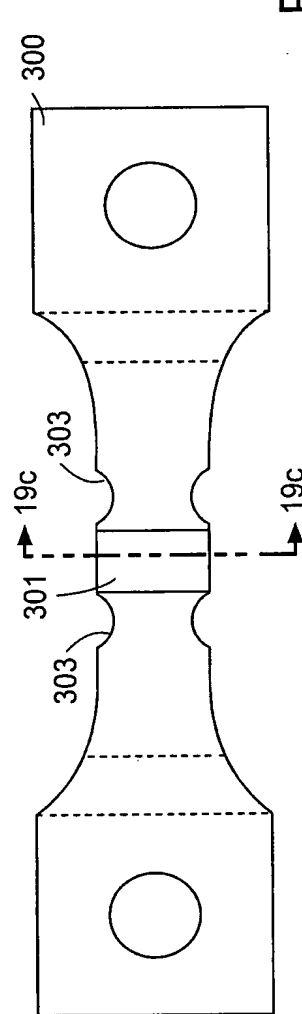


FIG. 19a

FIG. 19c

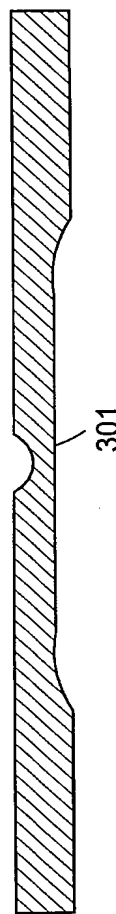


FIG. 19b

26/65

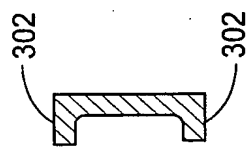


FIG. 20c

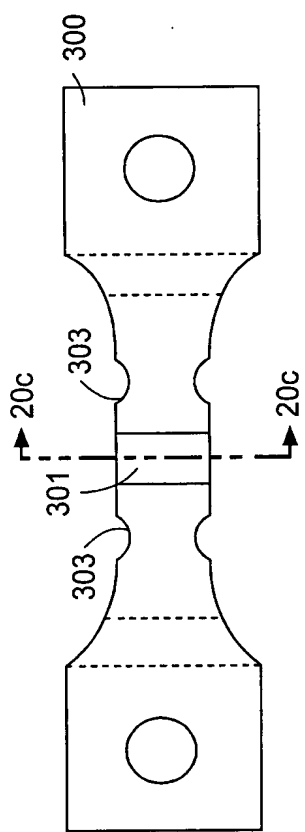


FIG. 20a

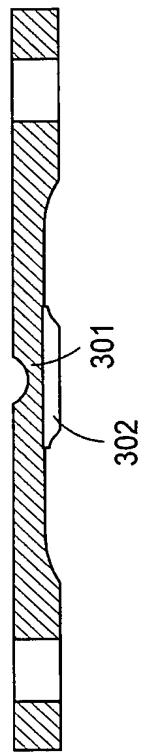


FIG. 20b

27/65

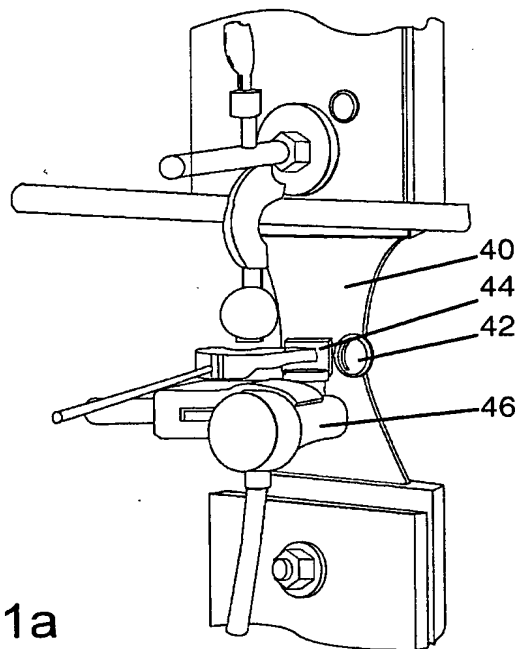


FIG. 21a

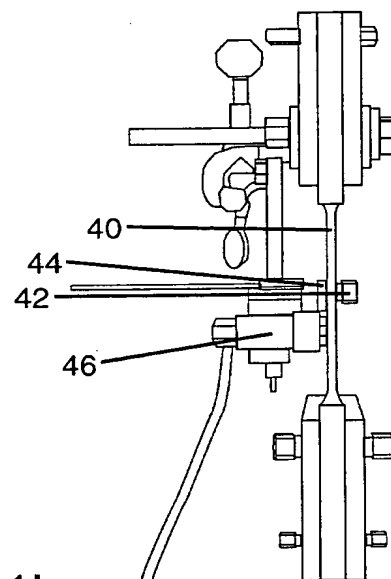


FIG. 21b

28/65

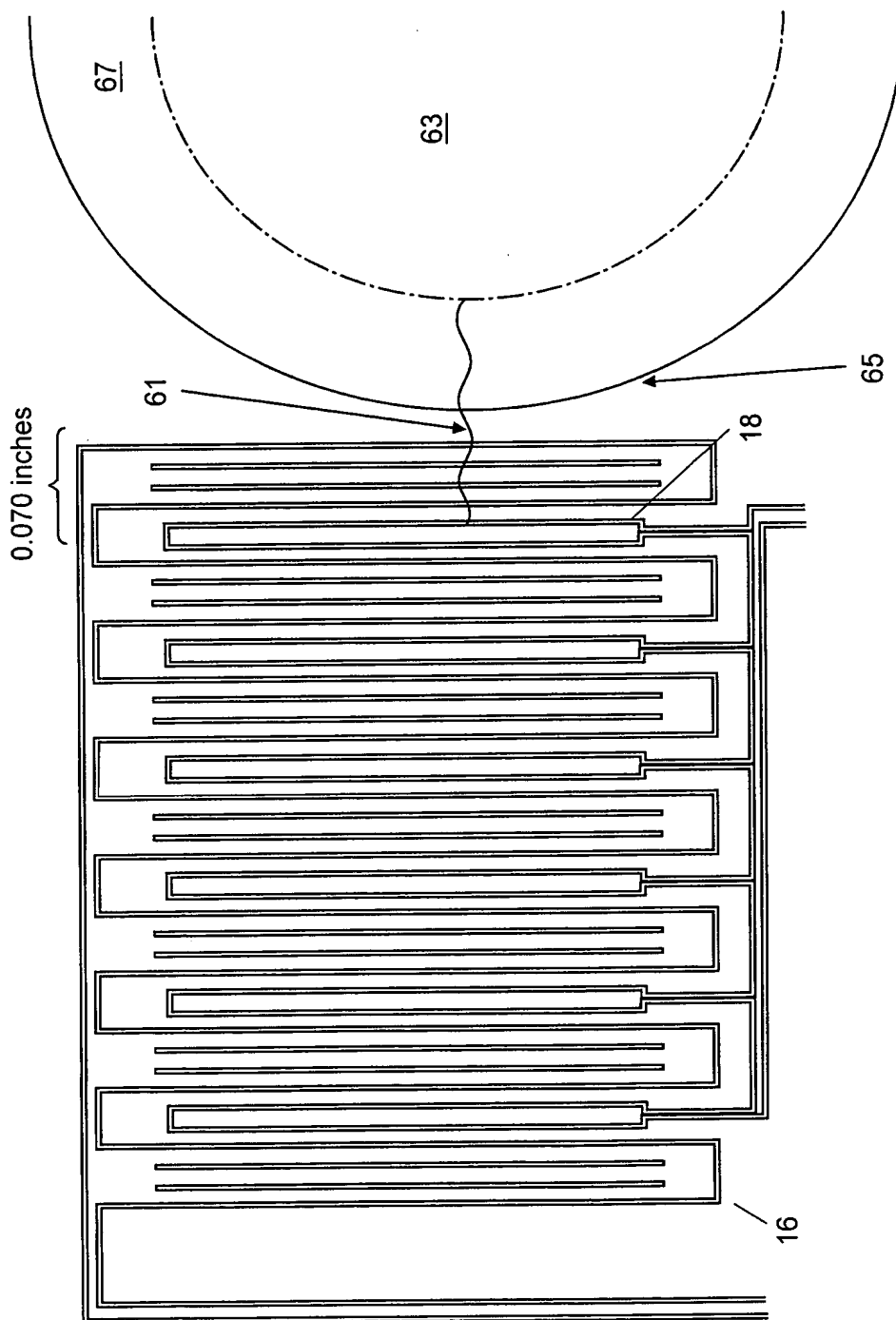


FIG. 22

29/65

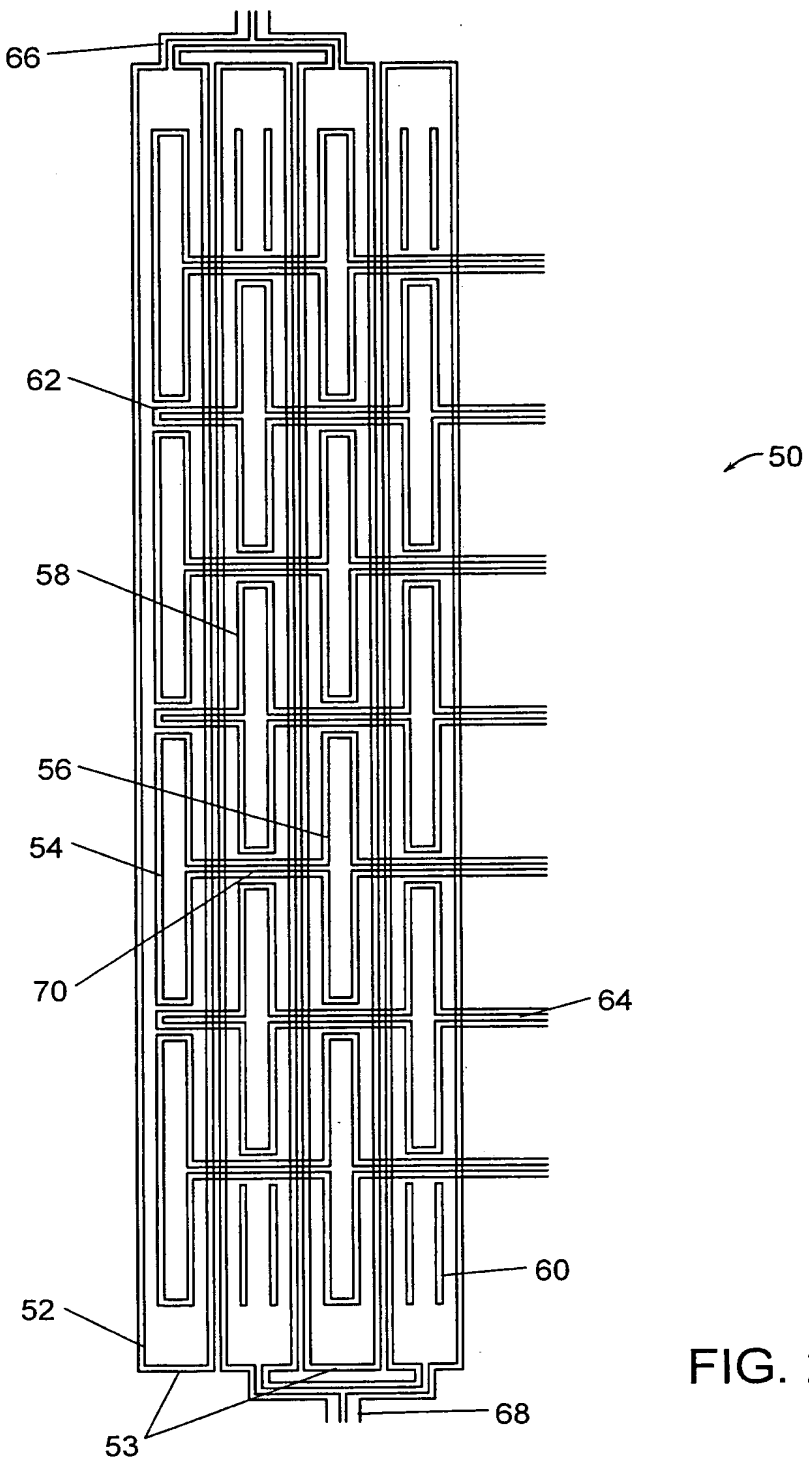


FIG. 23a

30/65

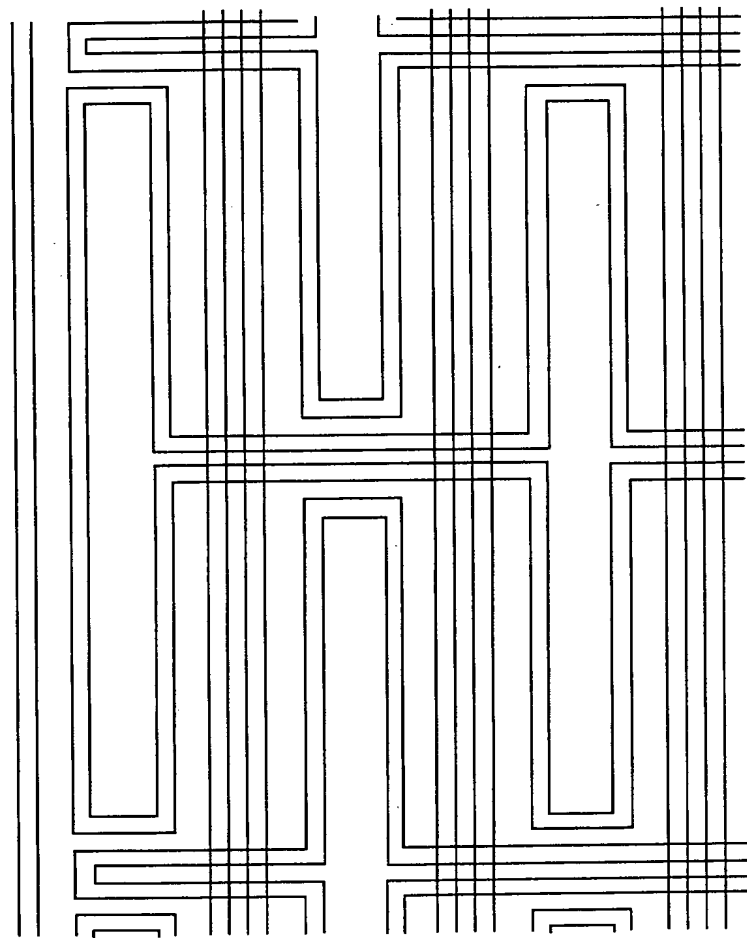


FIG. 23b

31/65

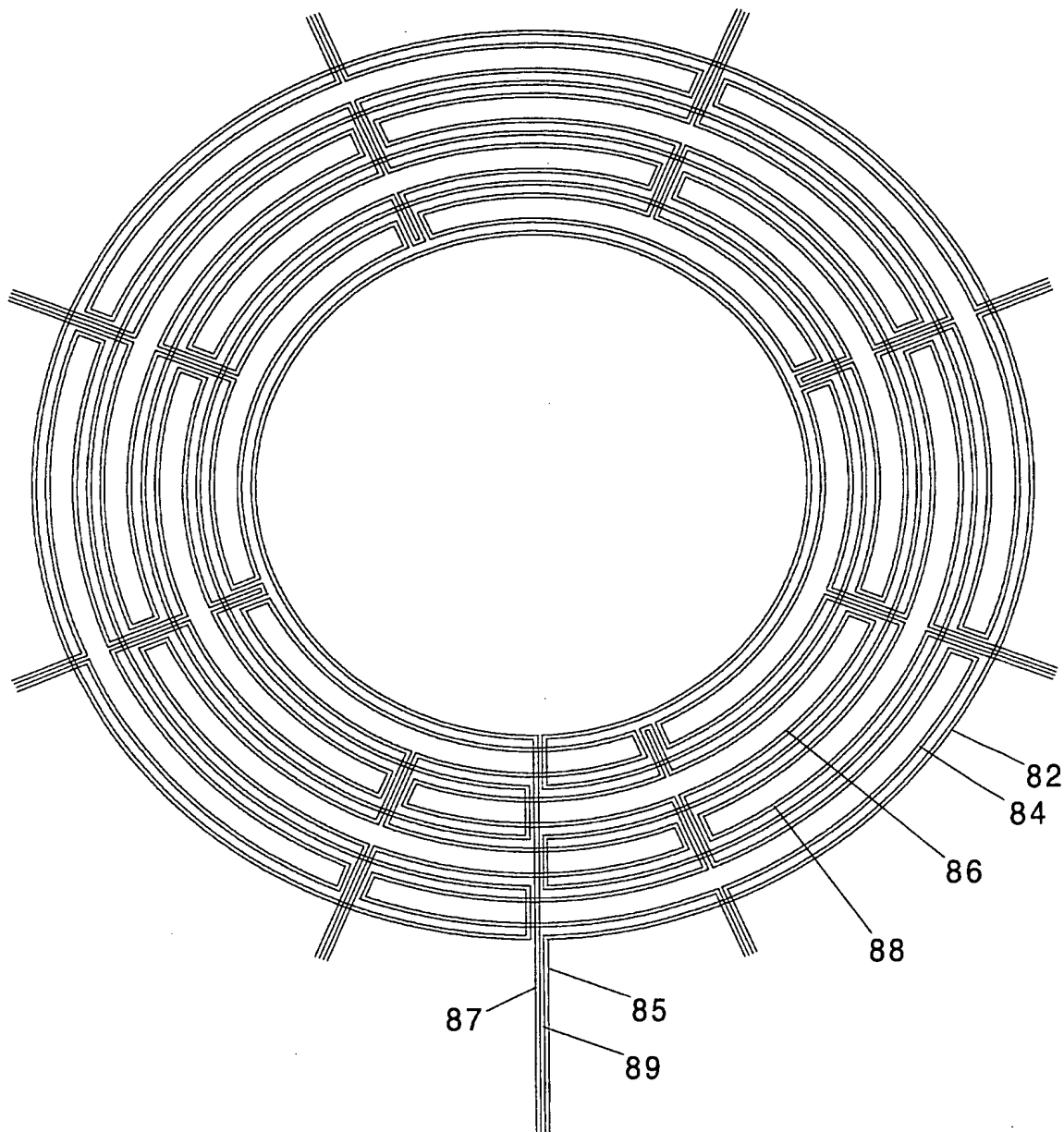


FIG. 24a

32/65

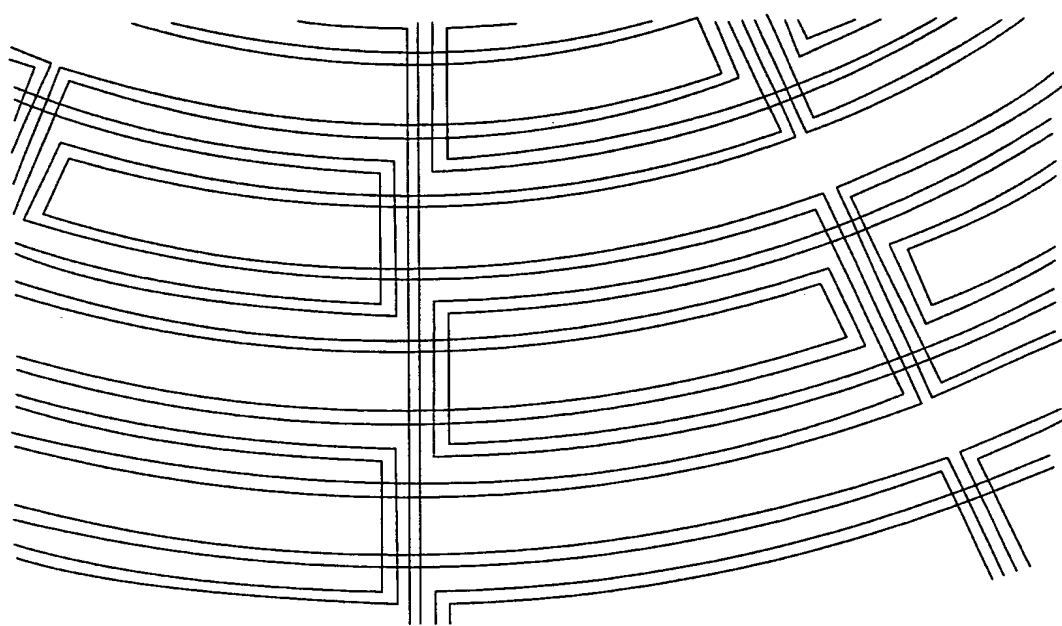


FIG. 24b

33/65

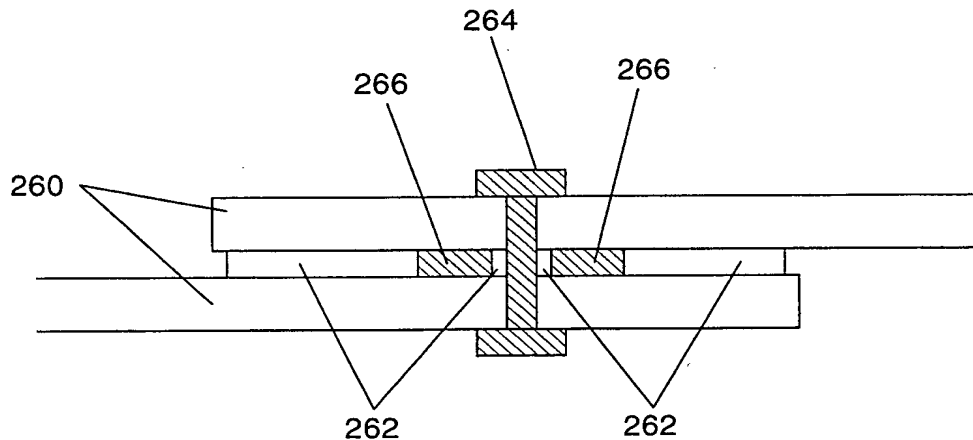


FIG. 25

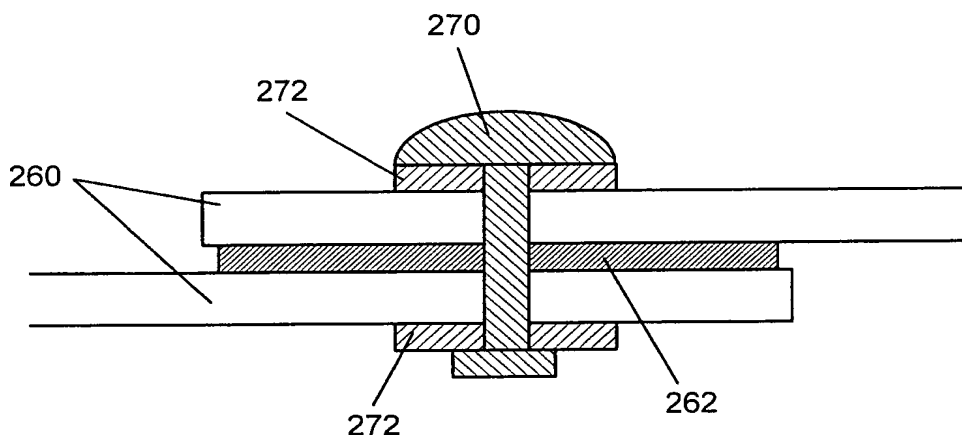


FIG. 26

34/65

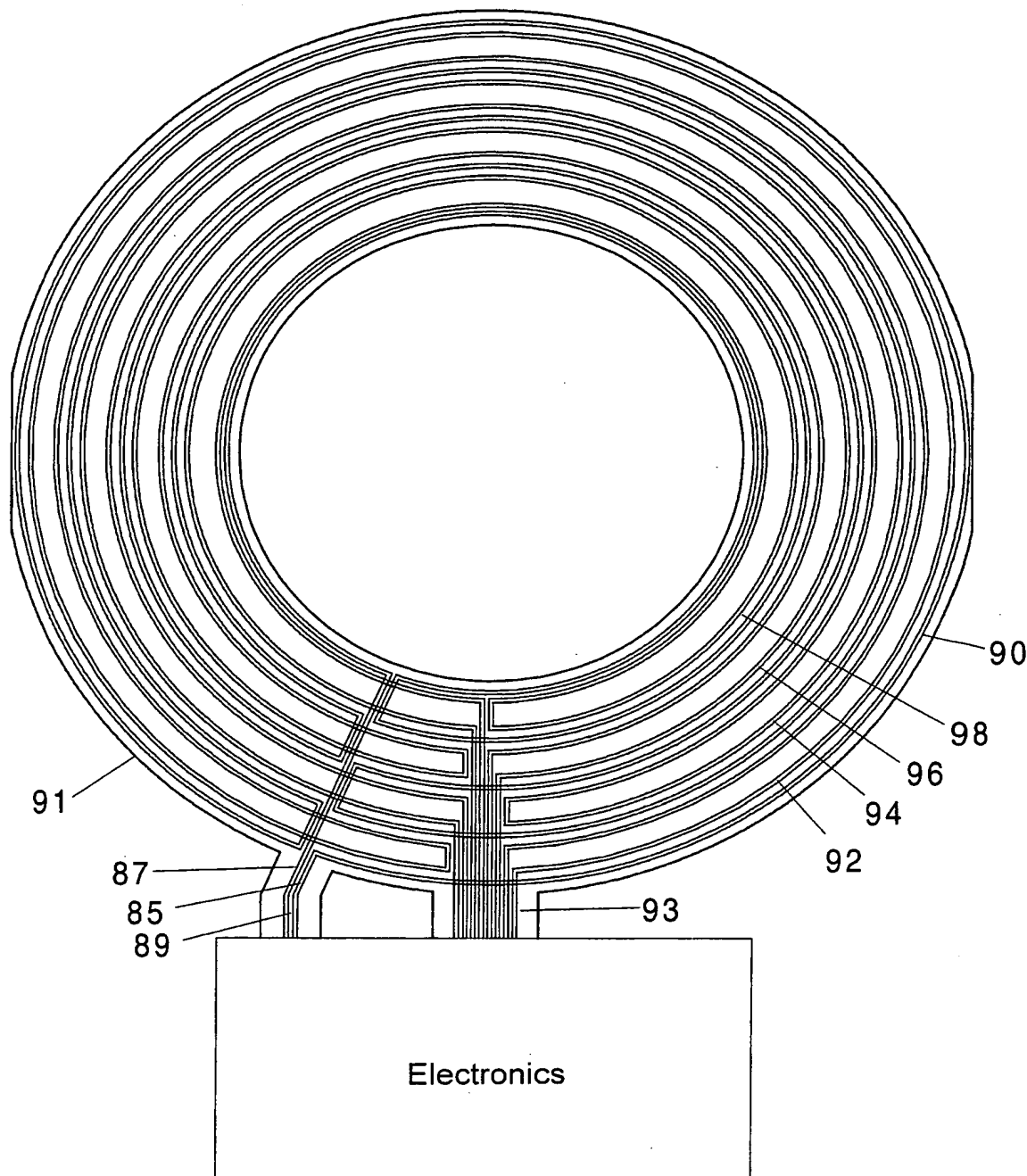


FIG. 27a

35/65

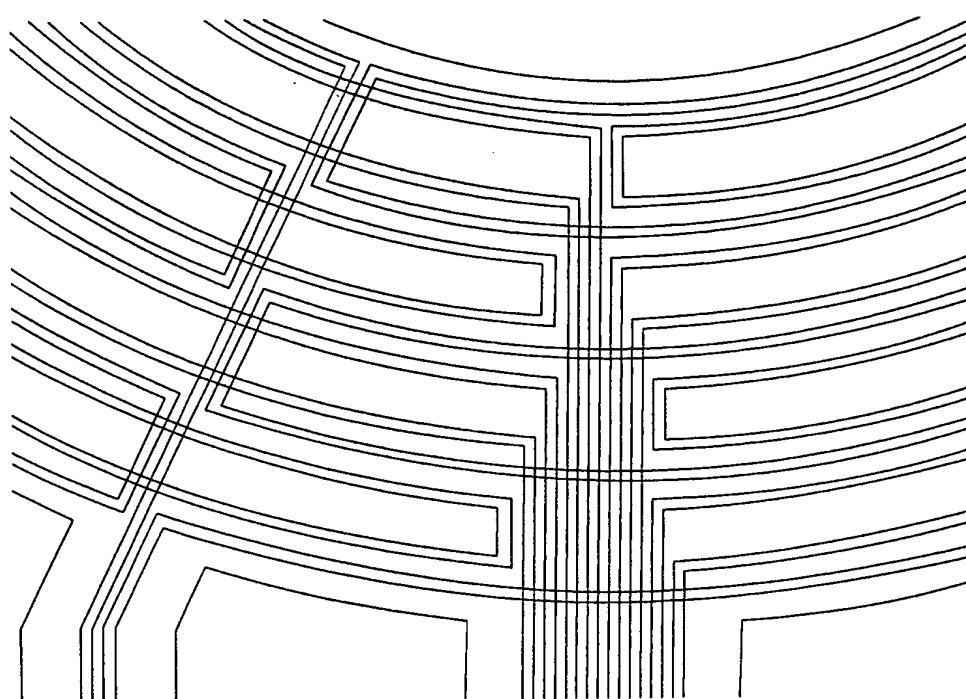


FIG. 27b

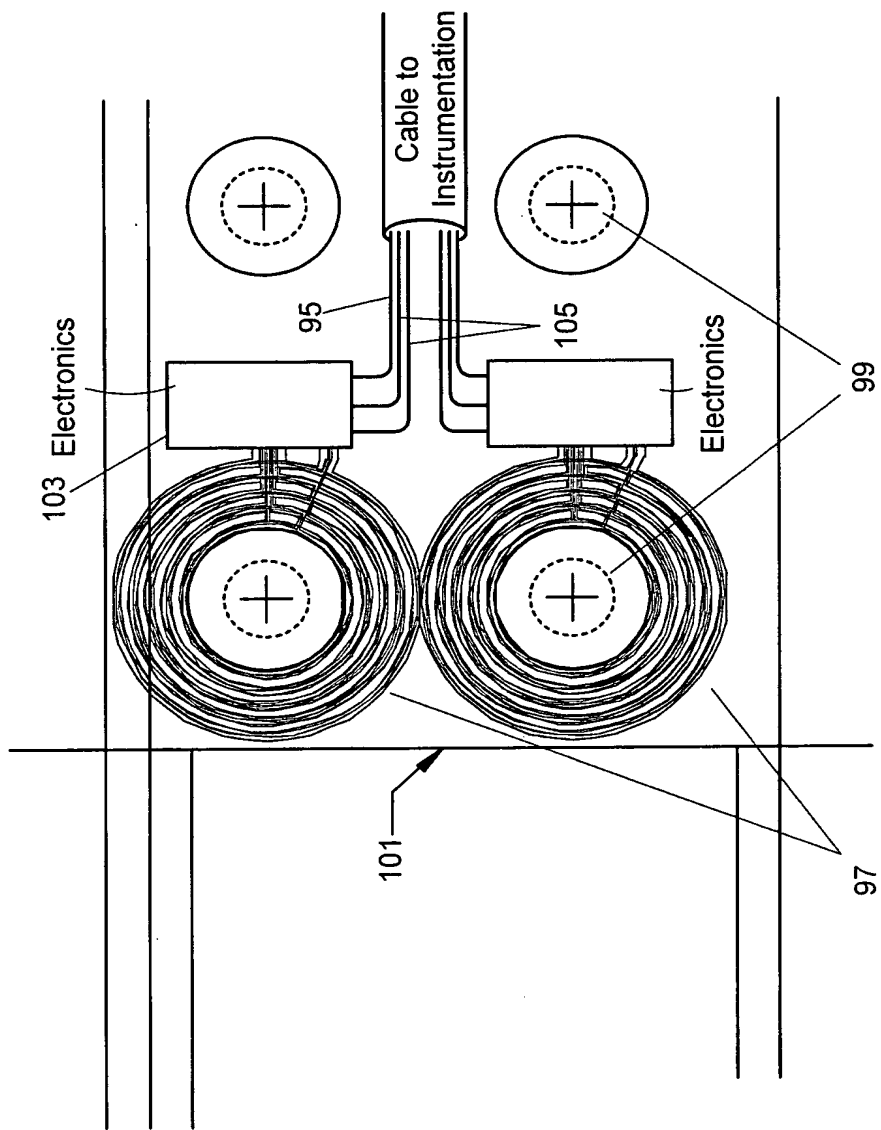


FIG. 28a

37/65

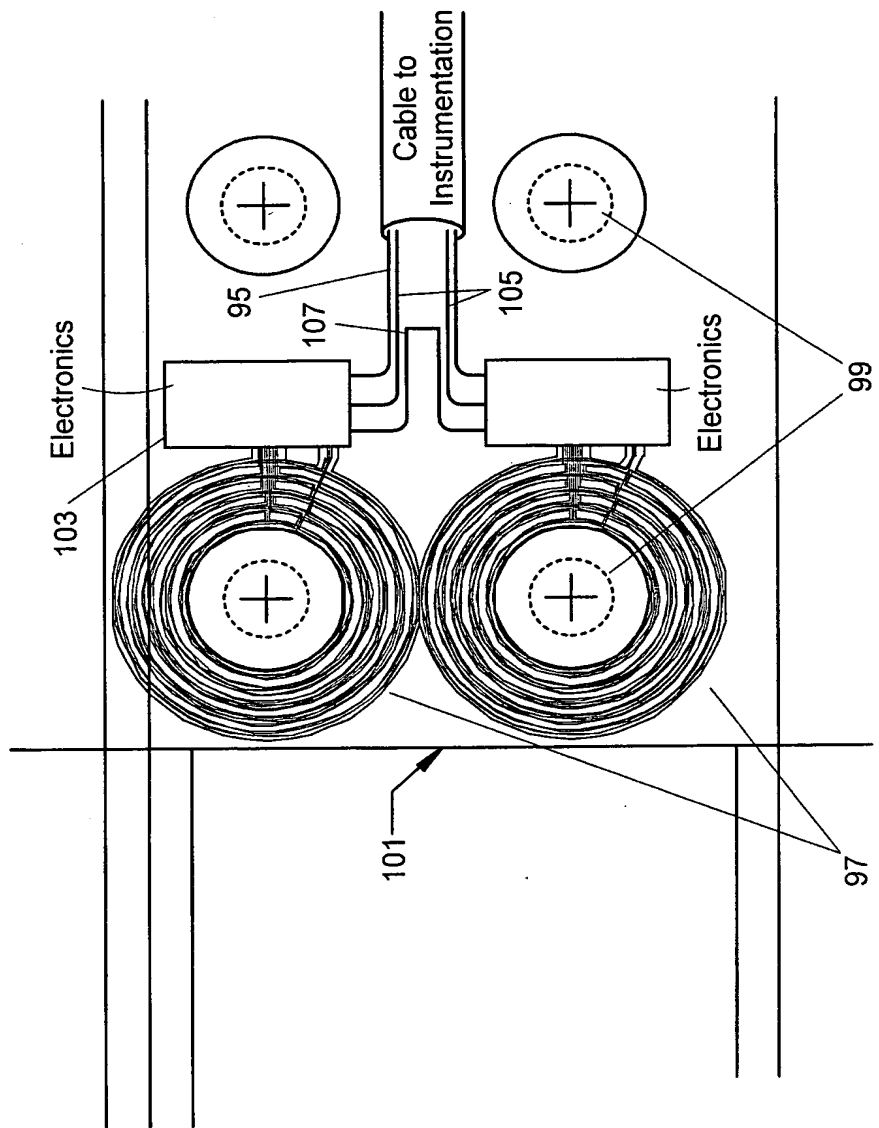
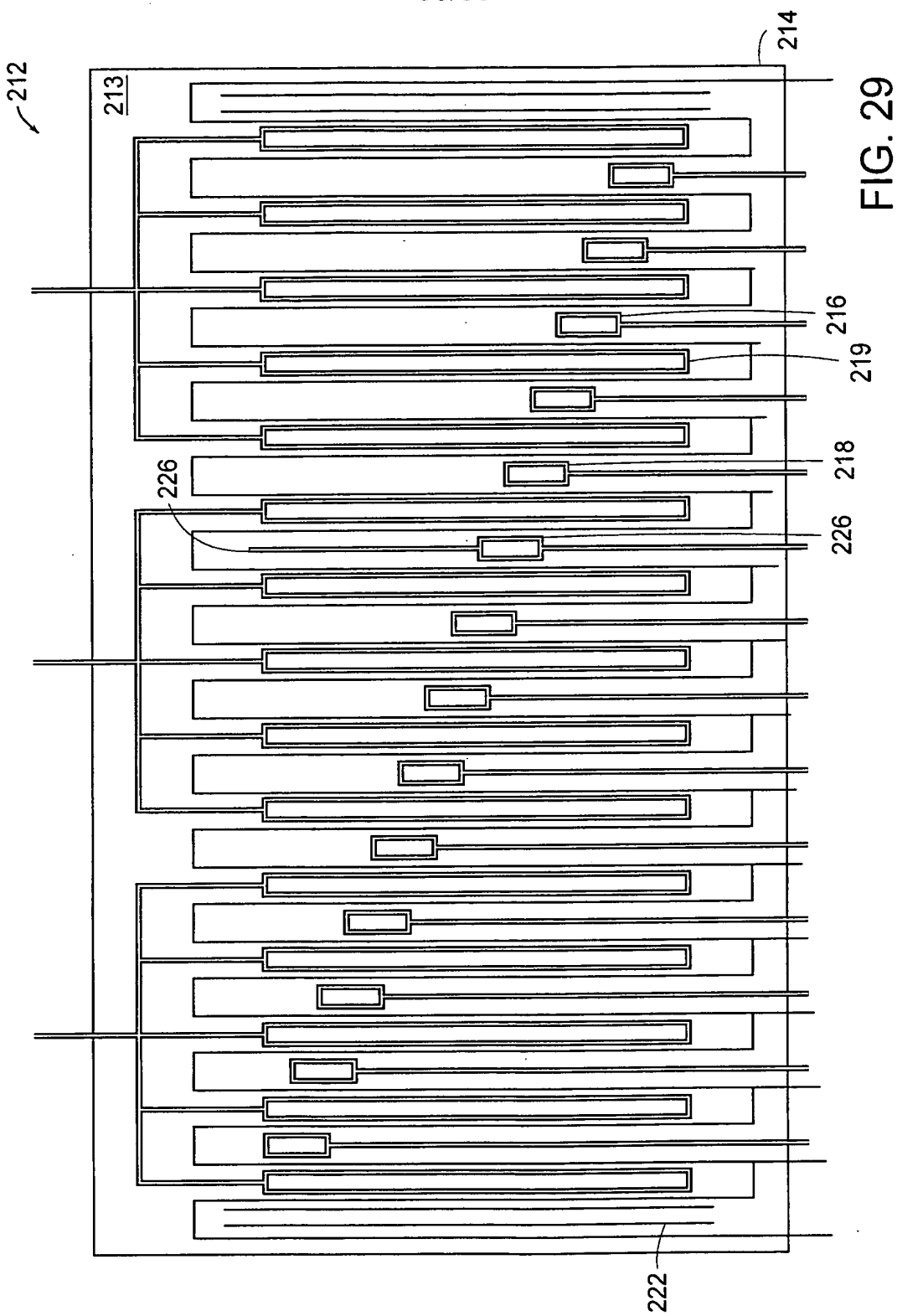


FIG. 28b

38/65



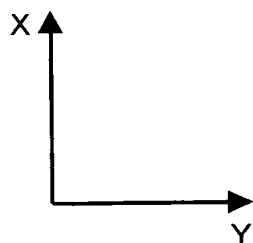
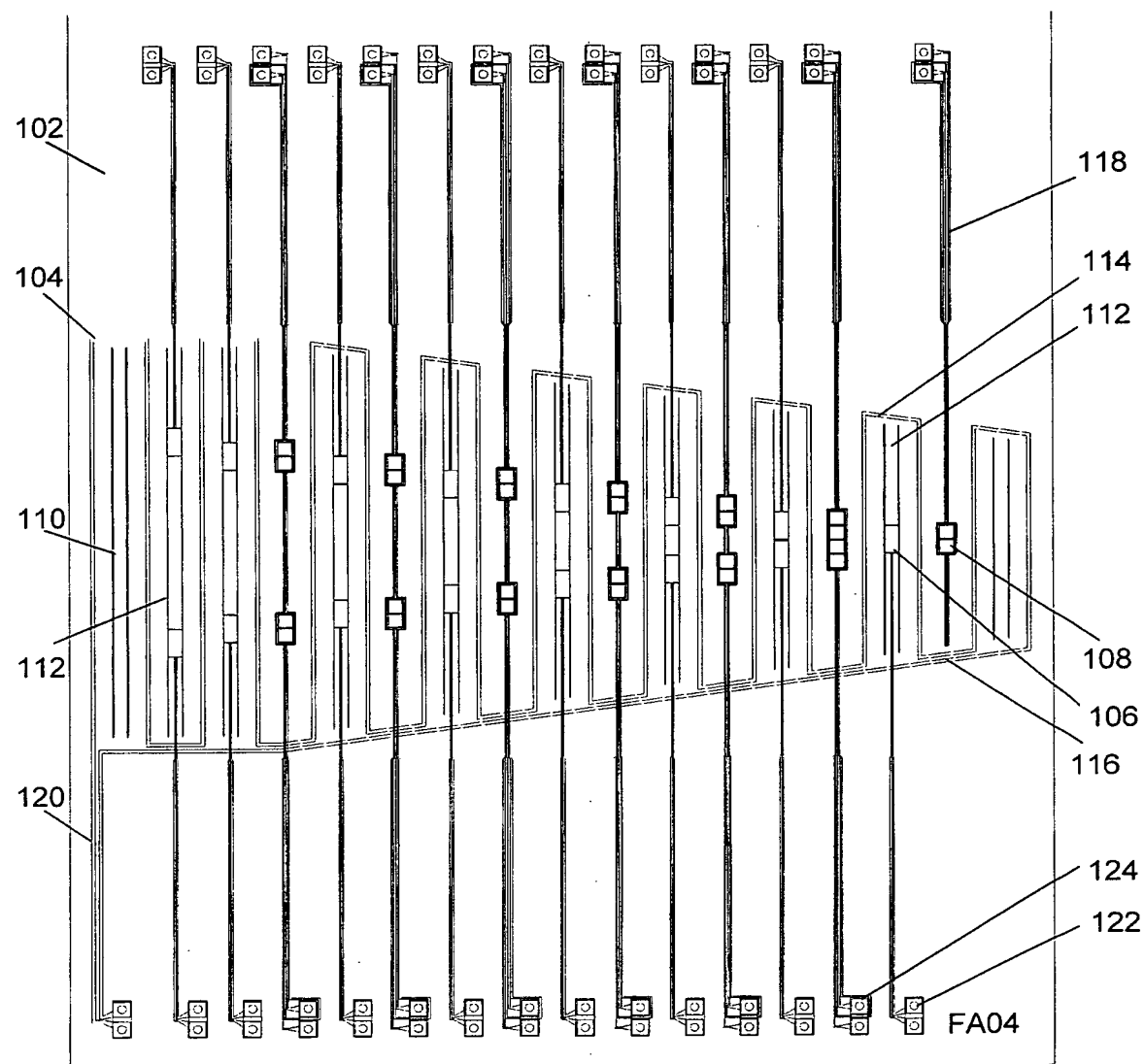


FIG. 30

40/65

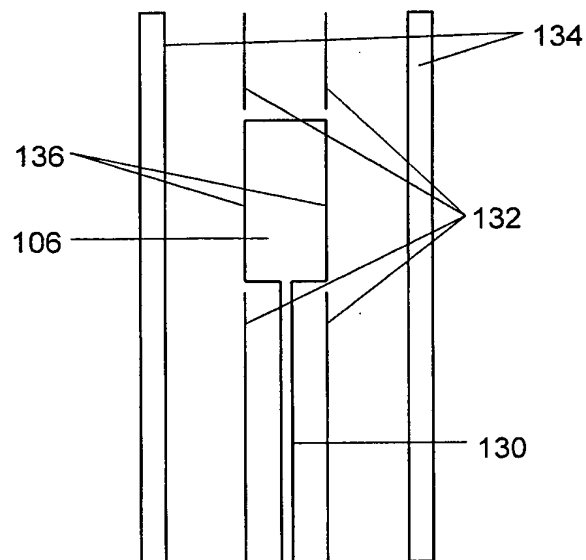


FIG. 31

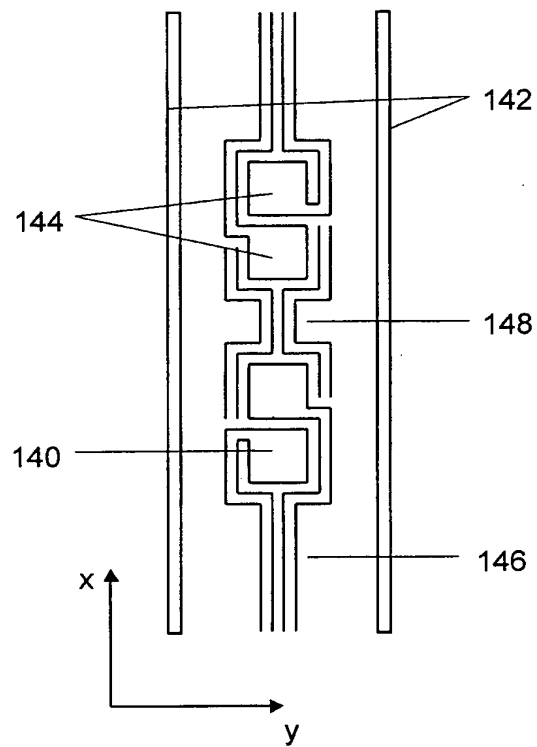


FIG. 32

41/65

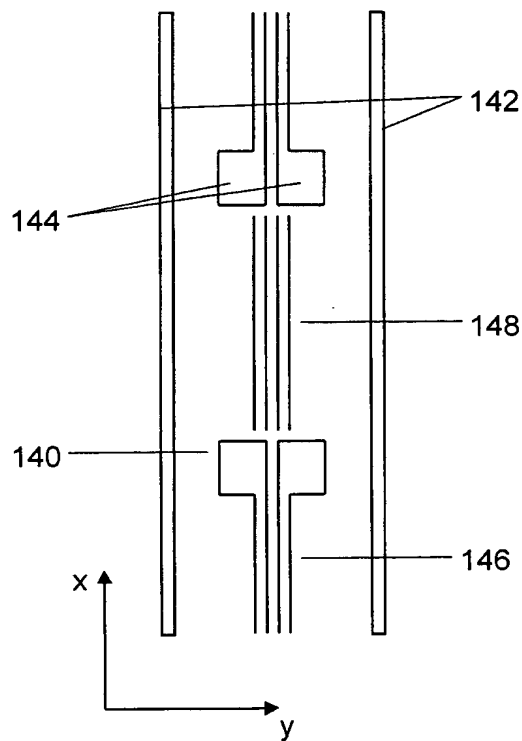


FIG. 33

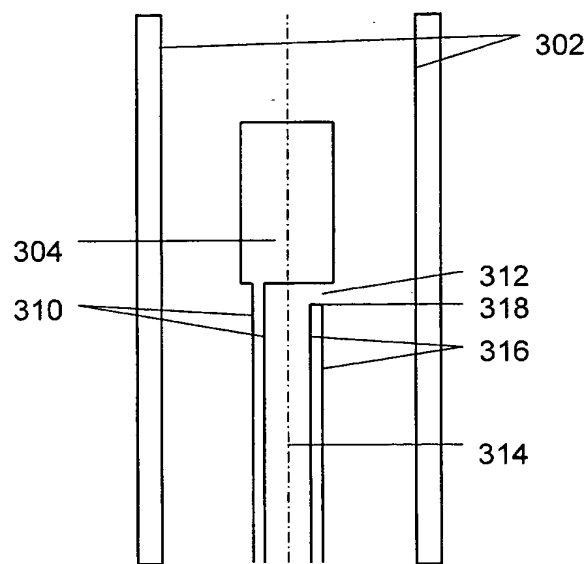


FIG. 34

42/65

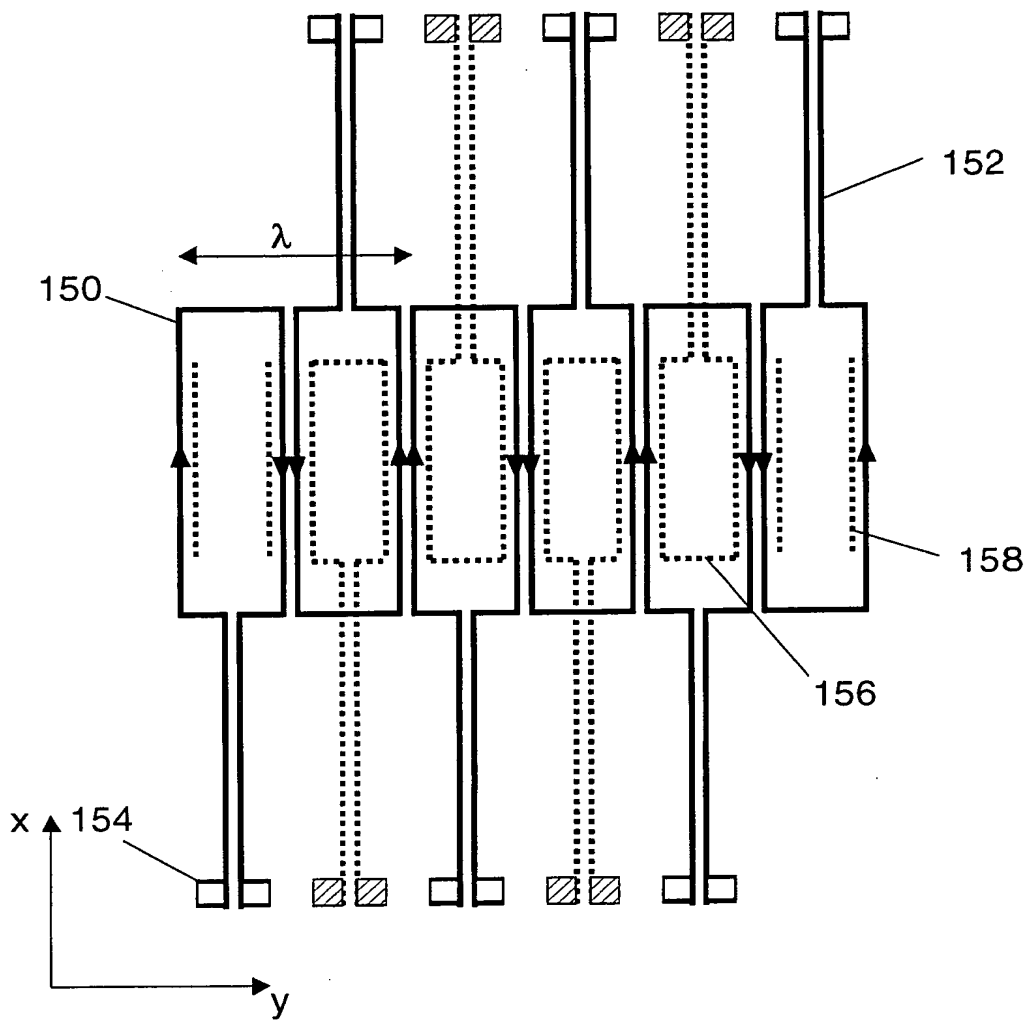


FIG. 35

43/65

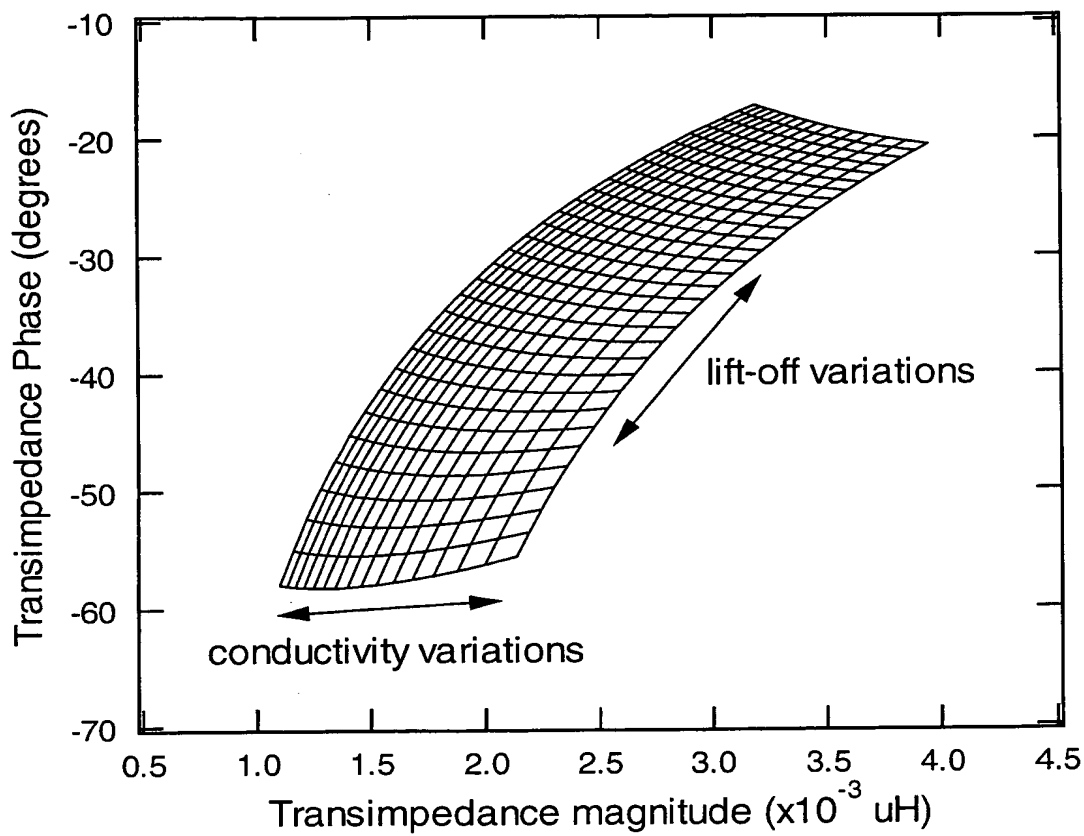


FIG. 36

44/65

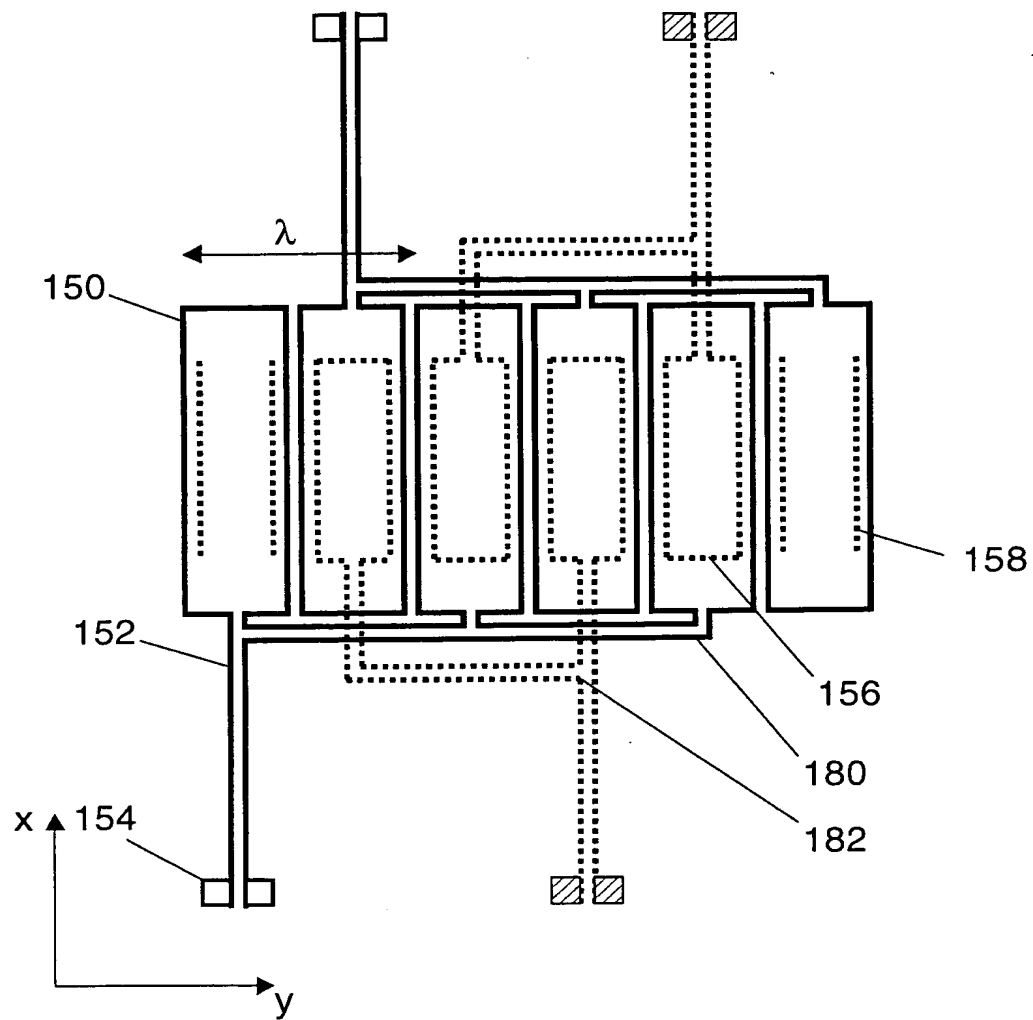


FIG. 37

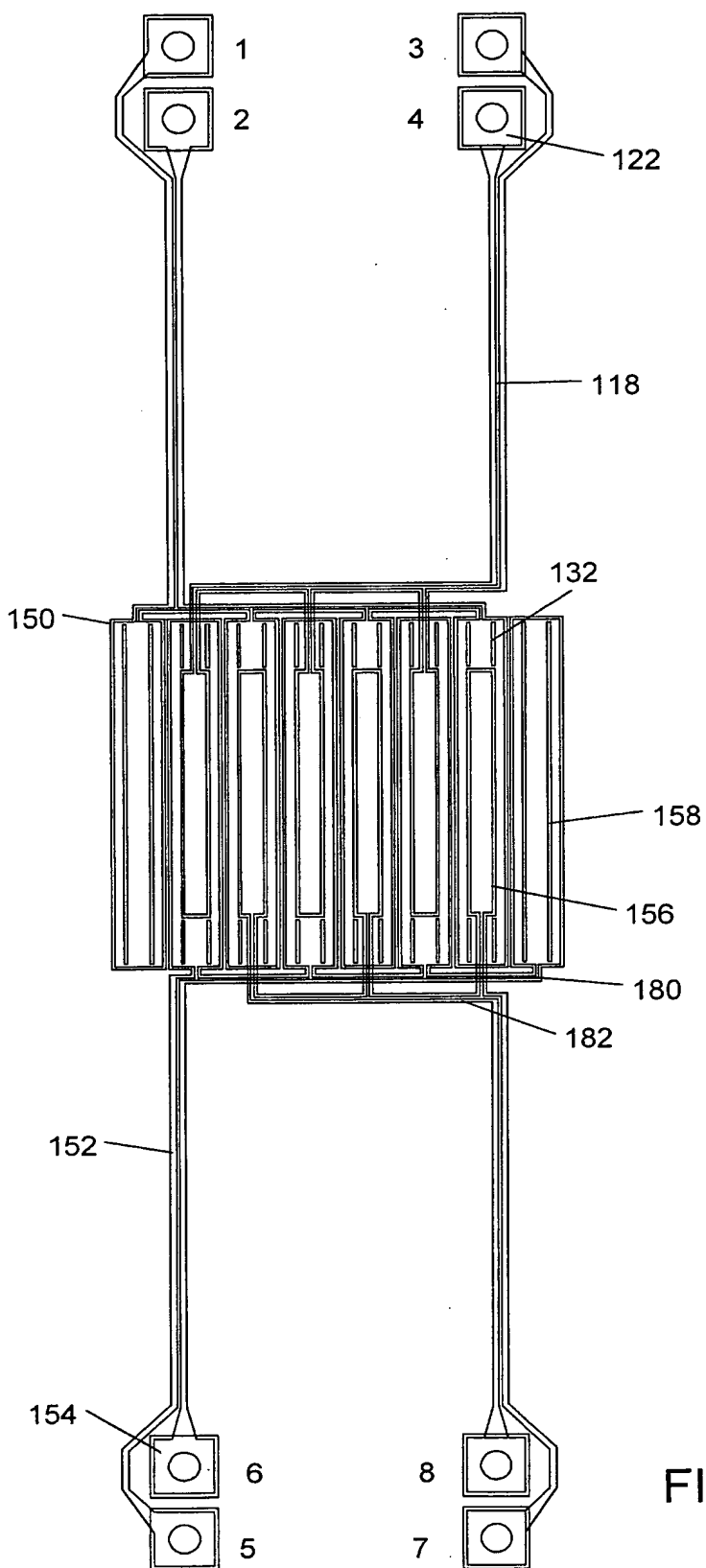


FIG. 38a

46/65

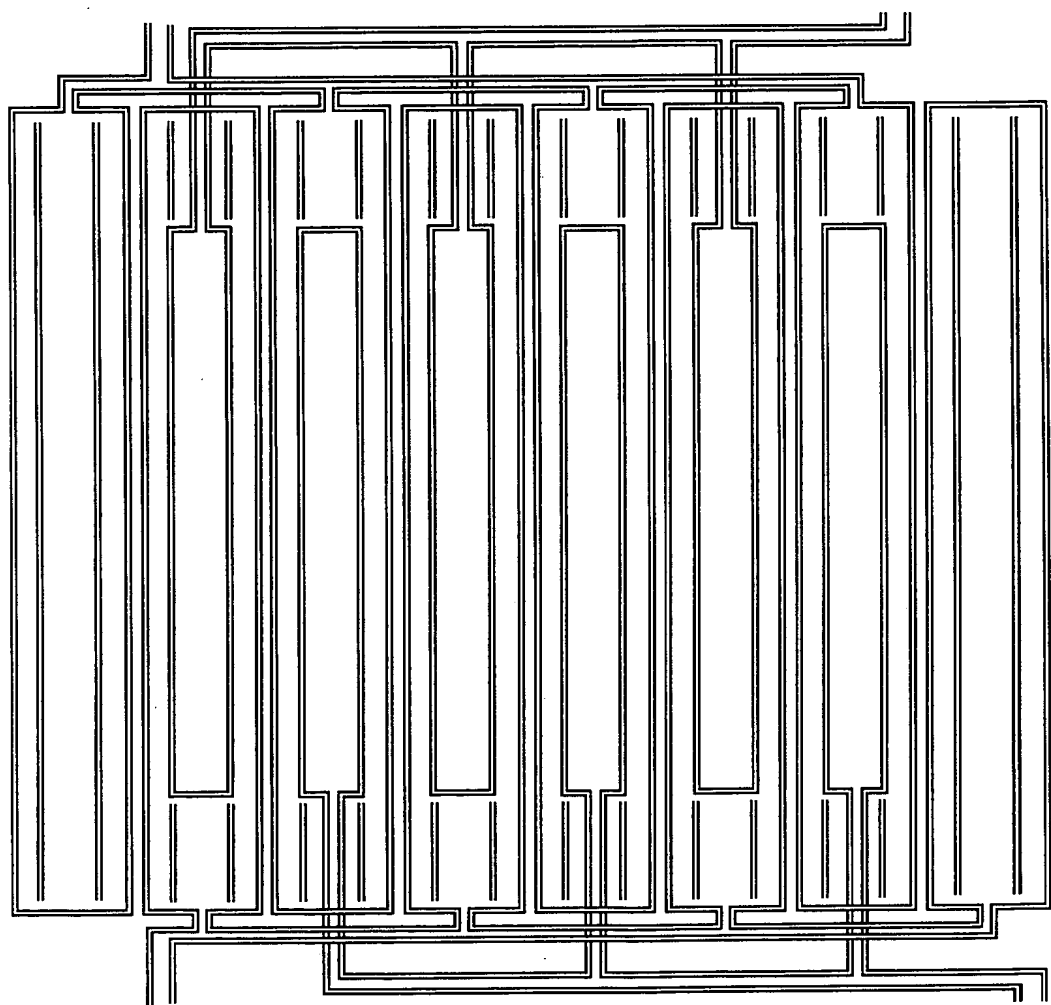


FIG. 38b

47/65

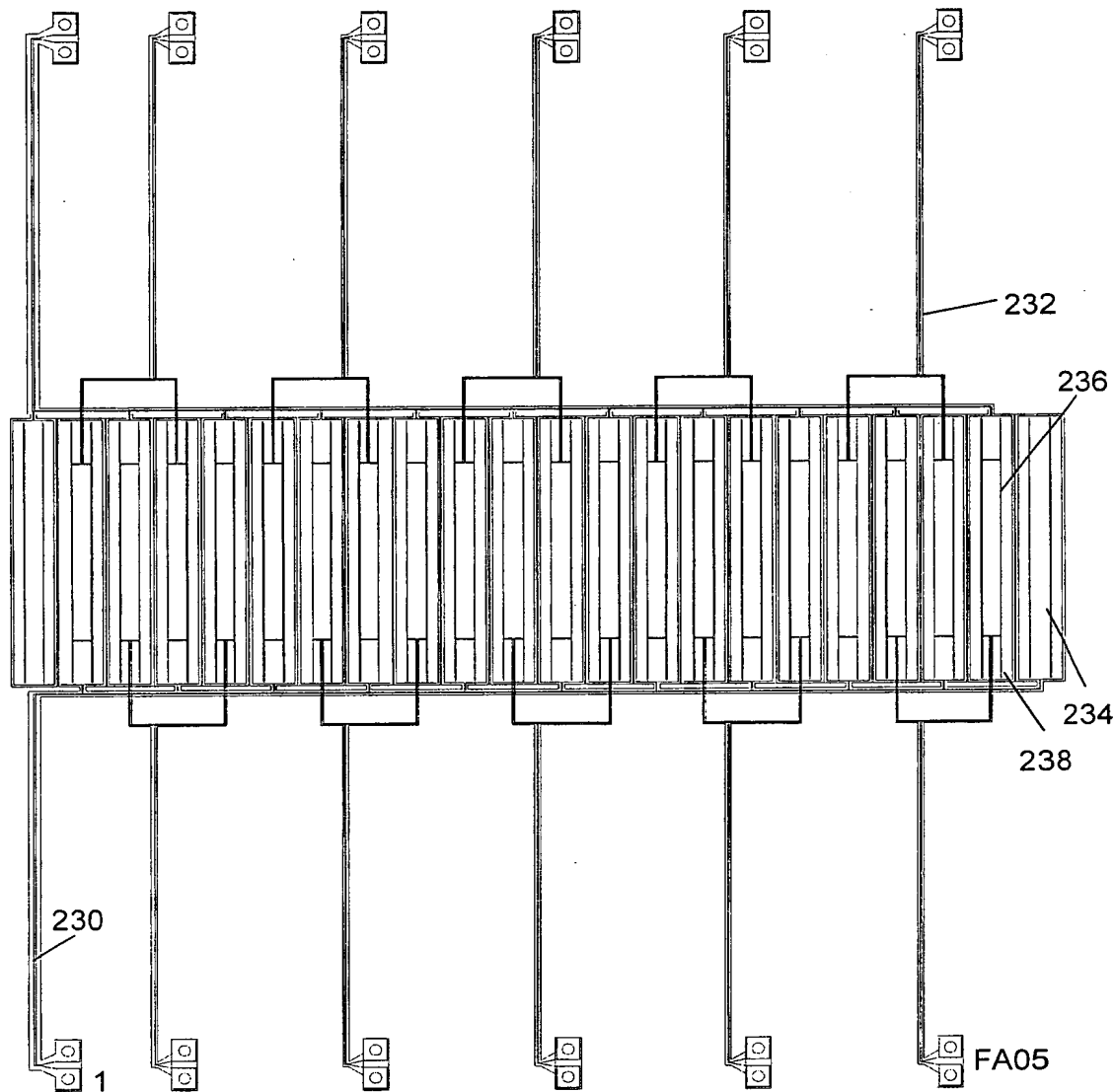


FIG. 39

48/65

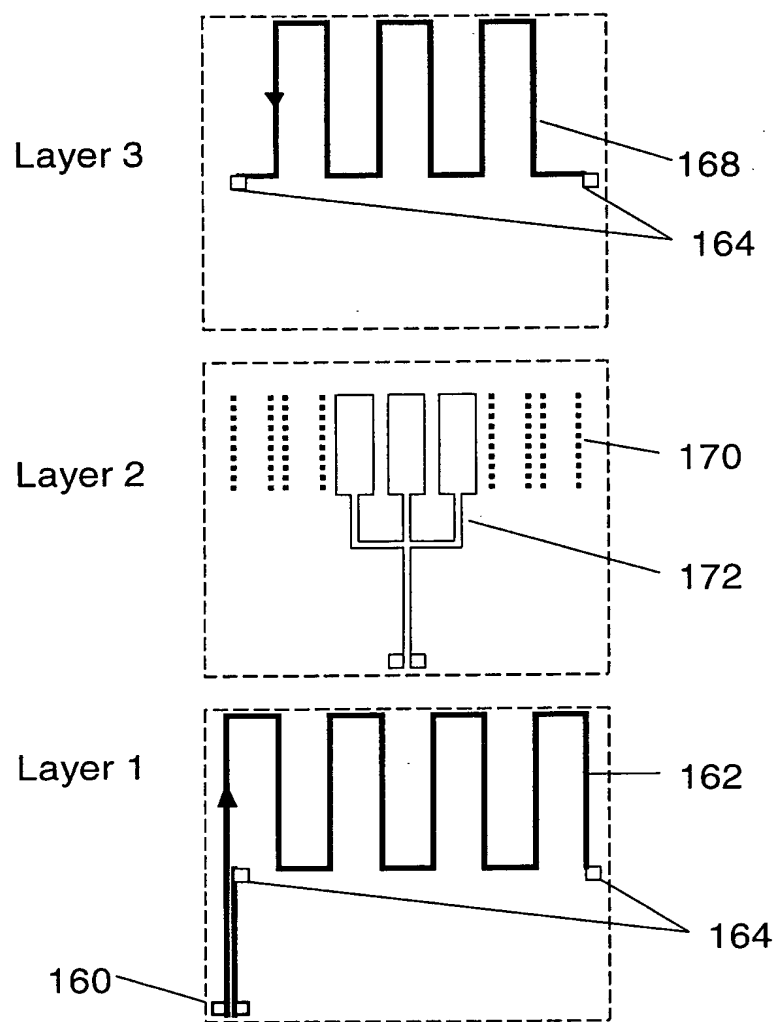
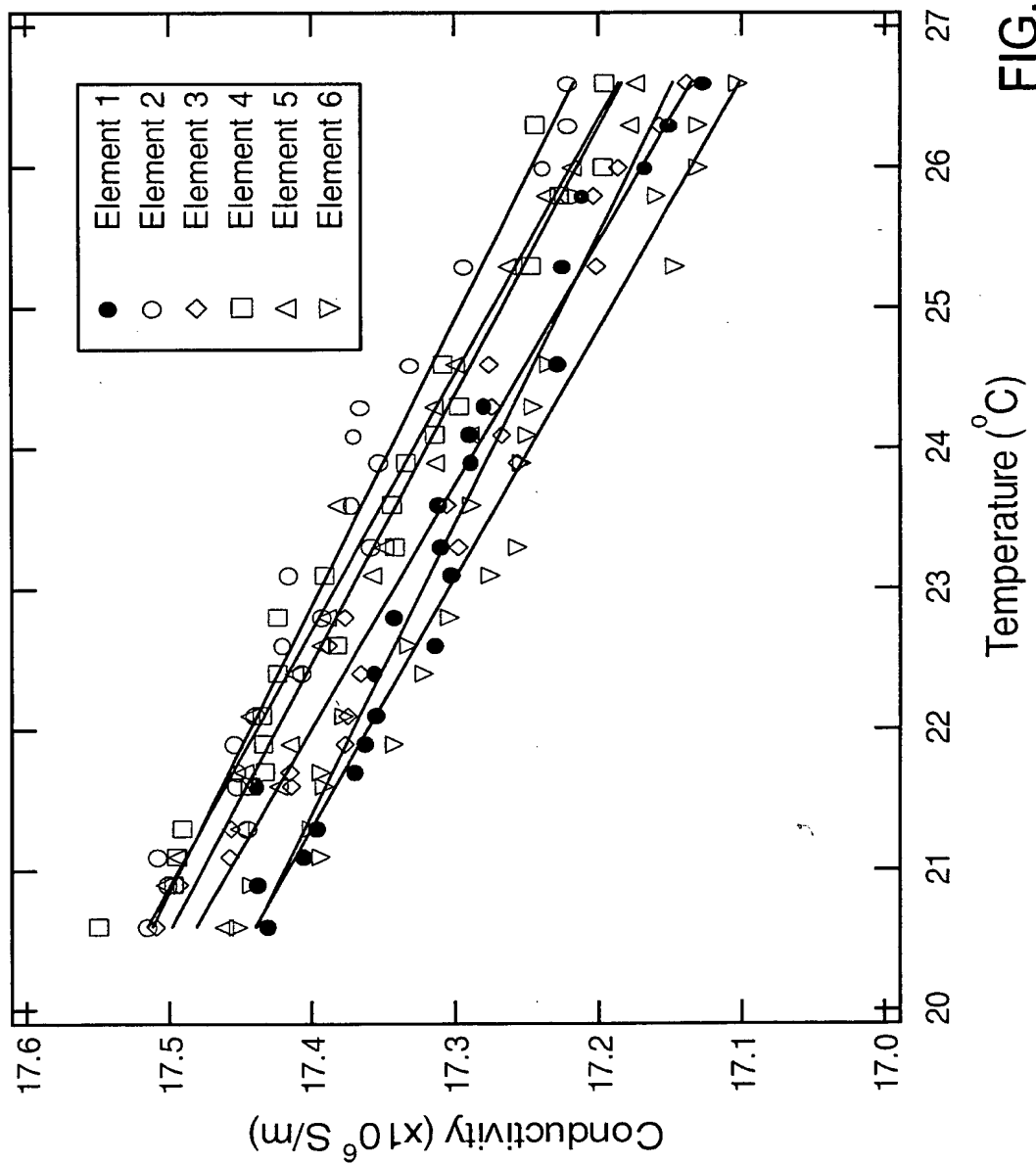


FIG. 40

49/65



50/65

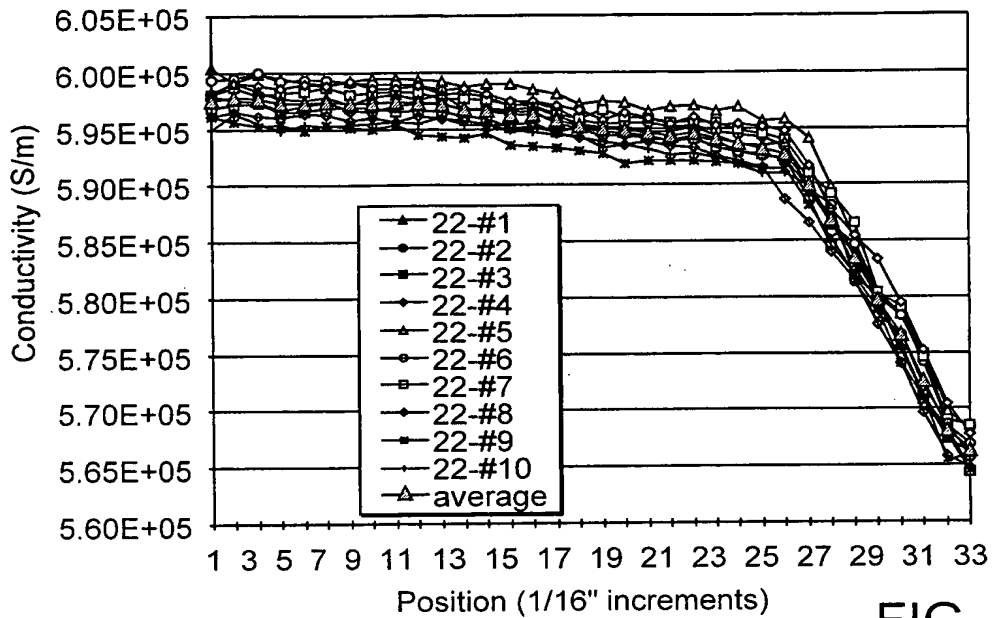


FIG. 42a

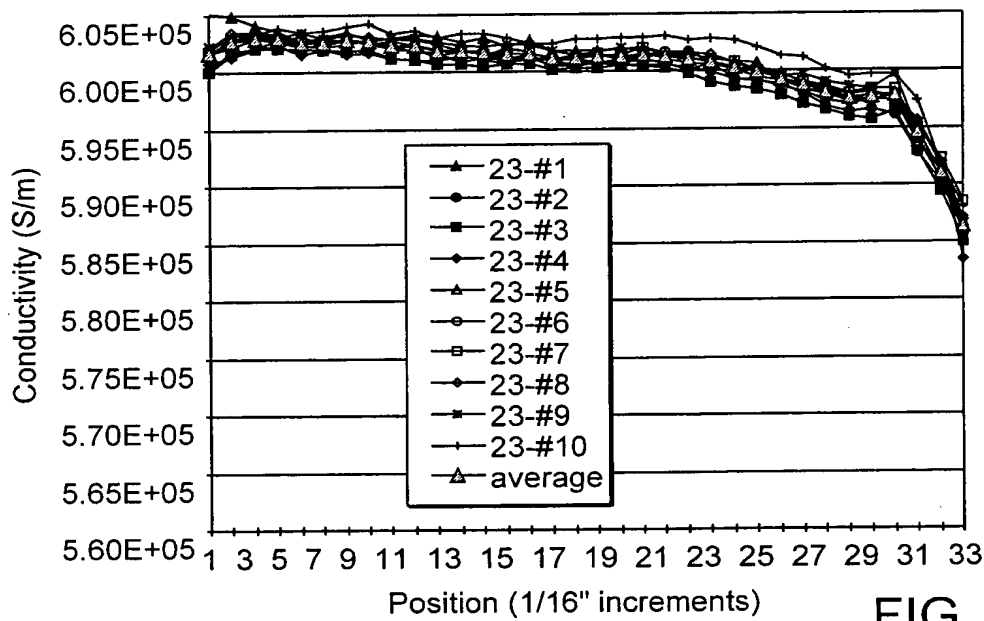


FIG. 42b

51/65

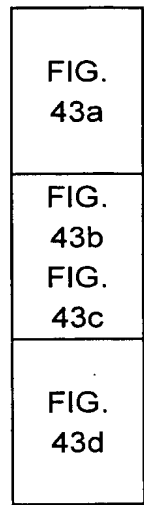


FIG. 43

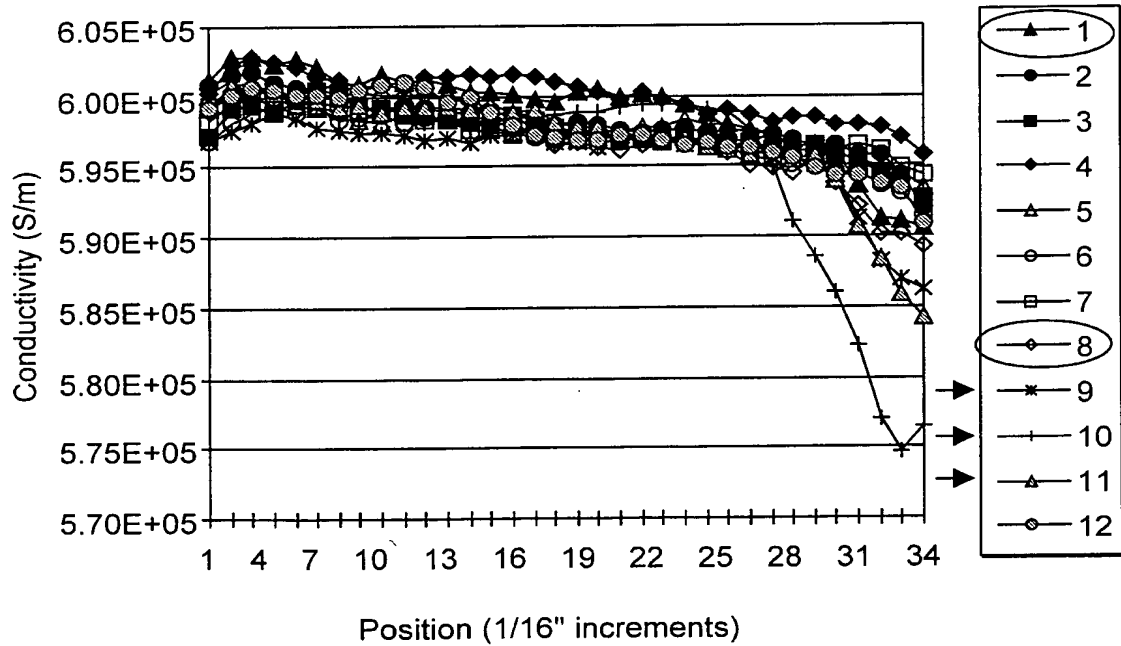


FIG. 43a

52/65

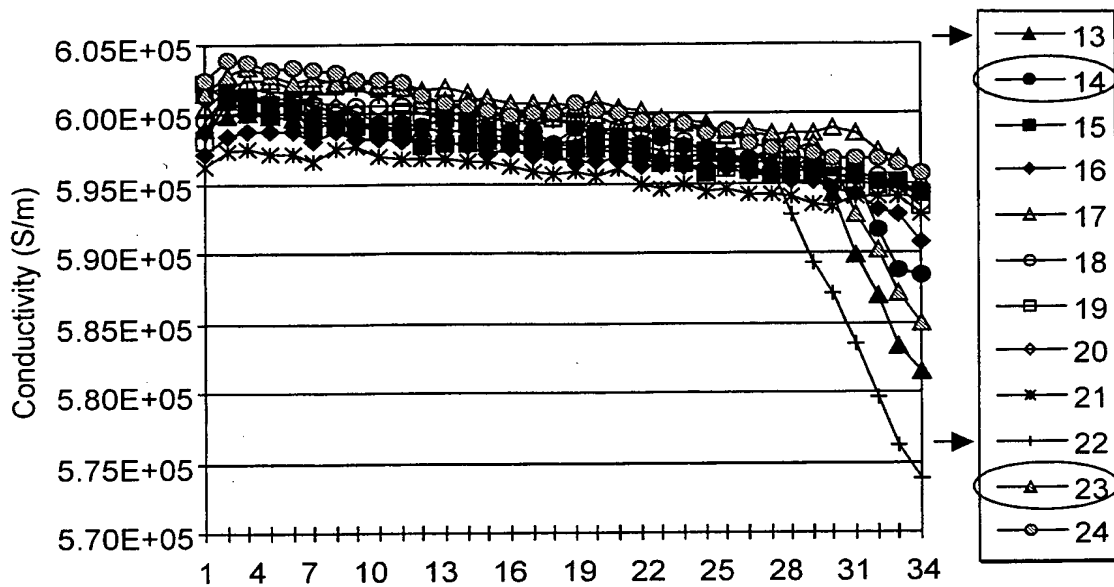


FIG. 43b Position (1/16" increments)

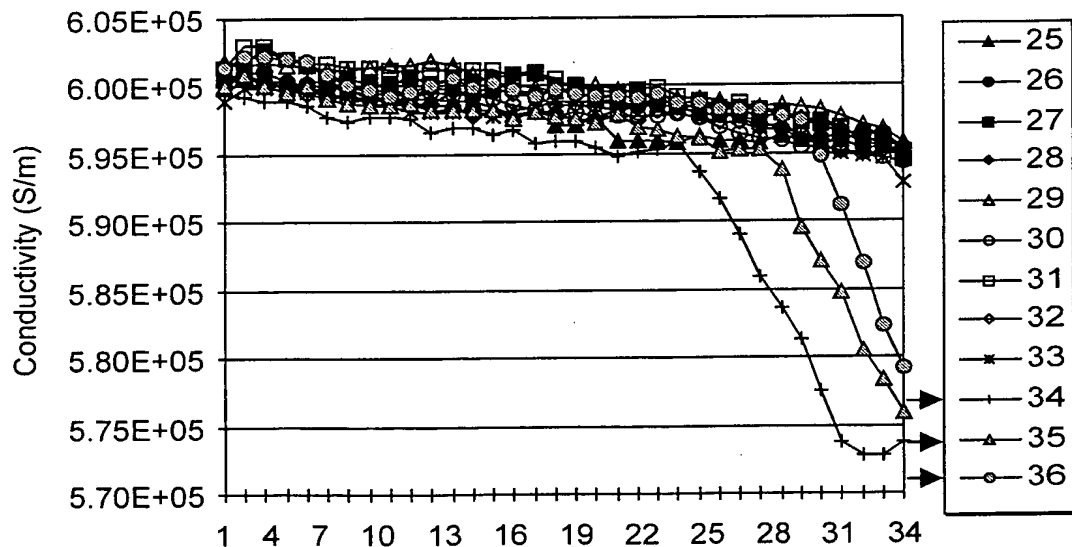


FIG. 43c Position (1/16" increments)

53/65

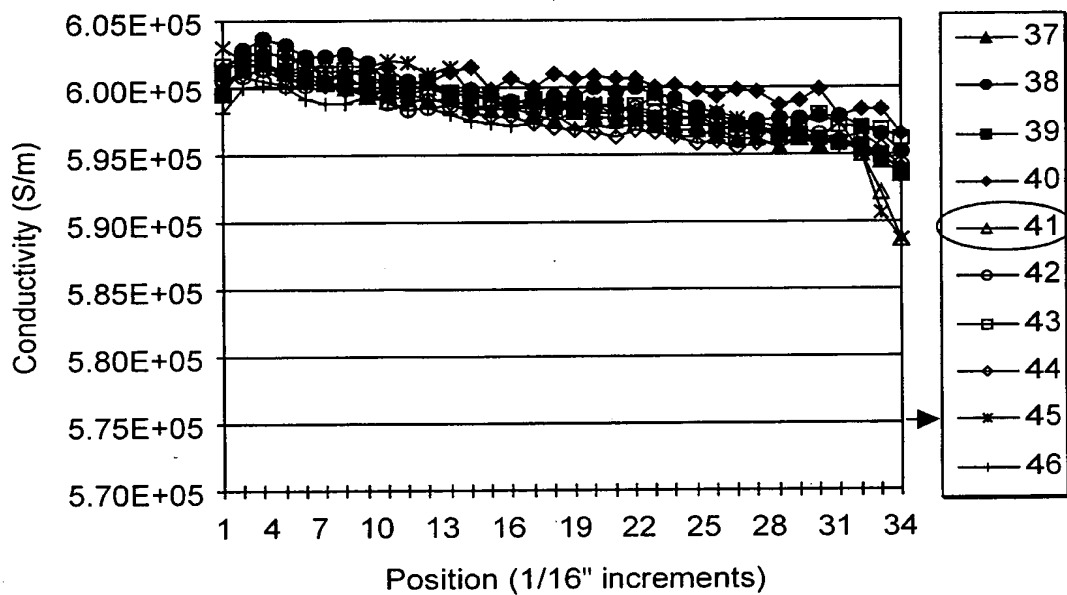


FIG. 43d

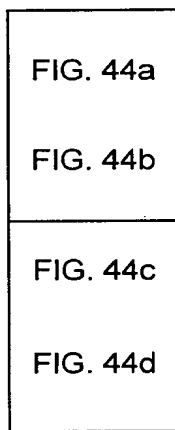


FIG. 44

54/65

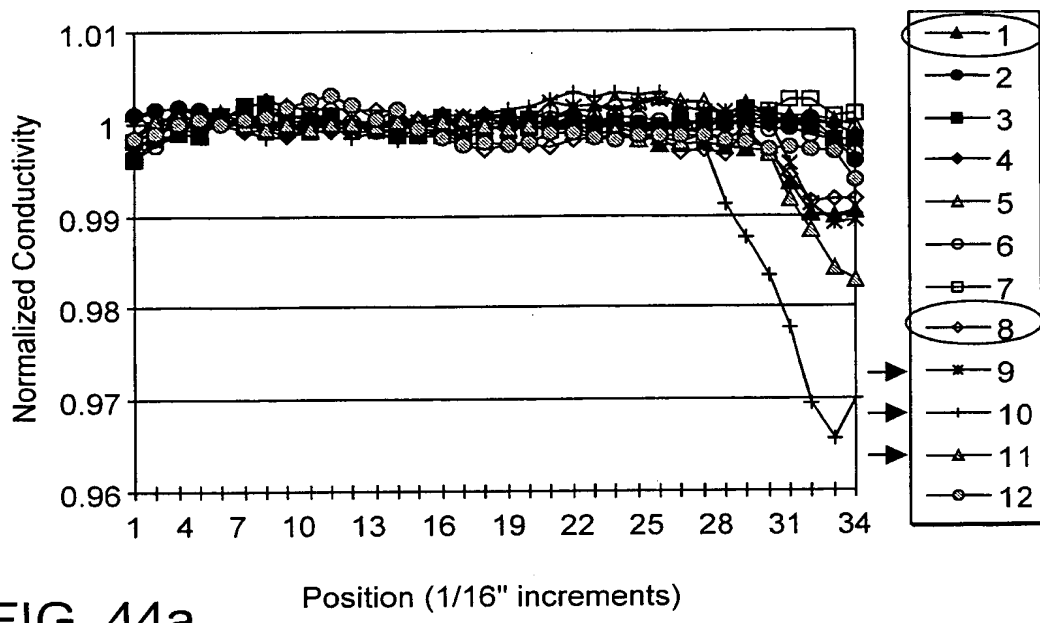


FIG. 44a

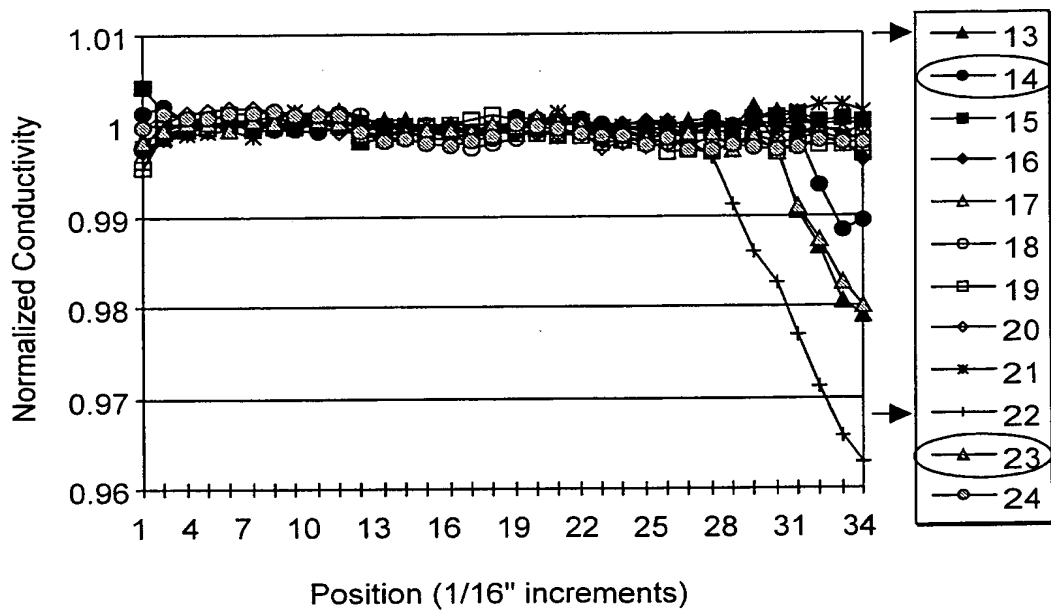


FIG. 44b

55/65

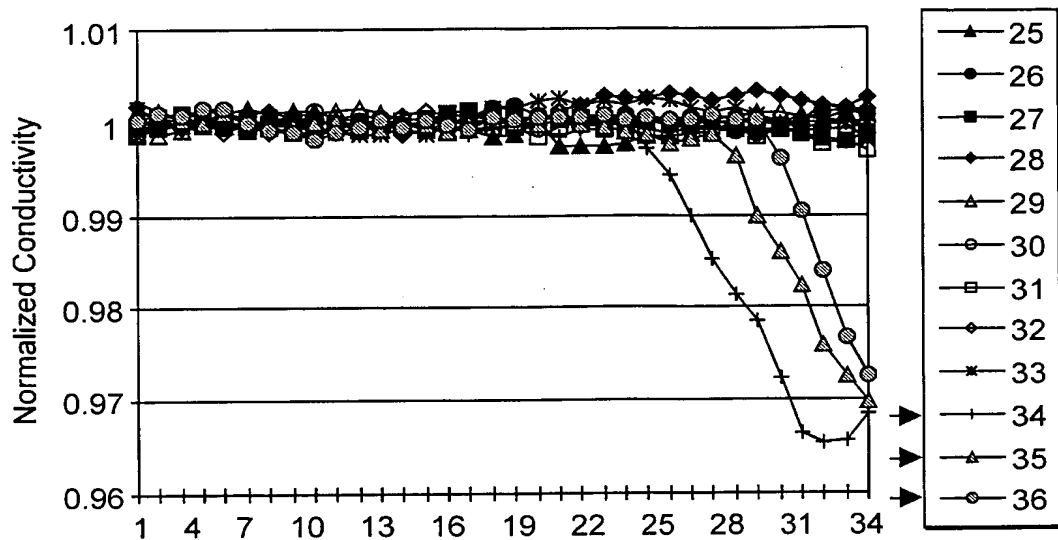


FIG. 44c Position (1/16" increments)

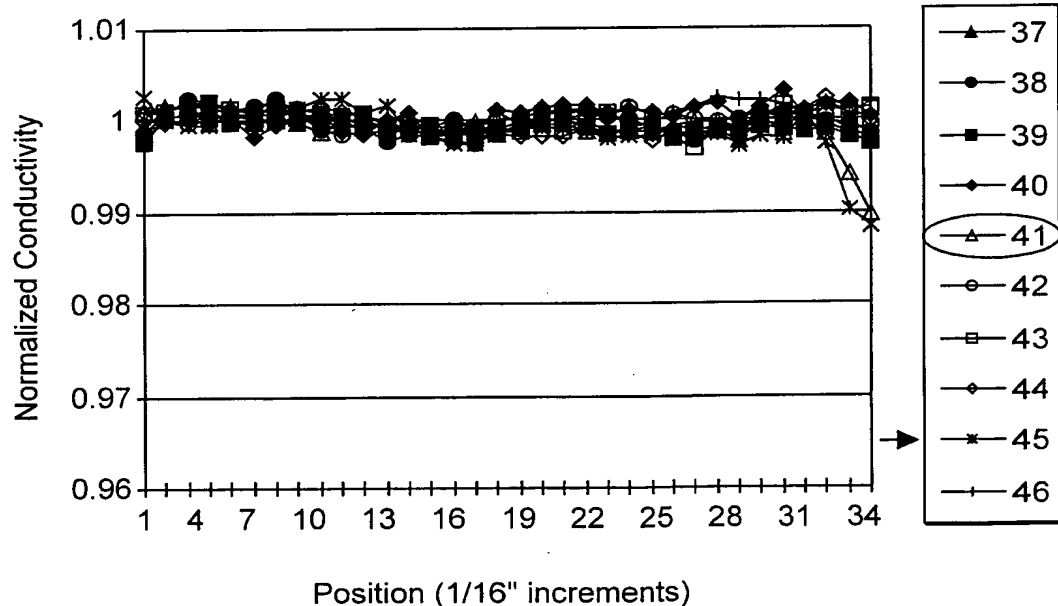


FIG. 44d

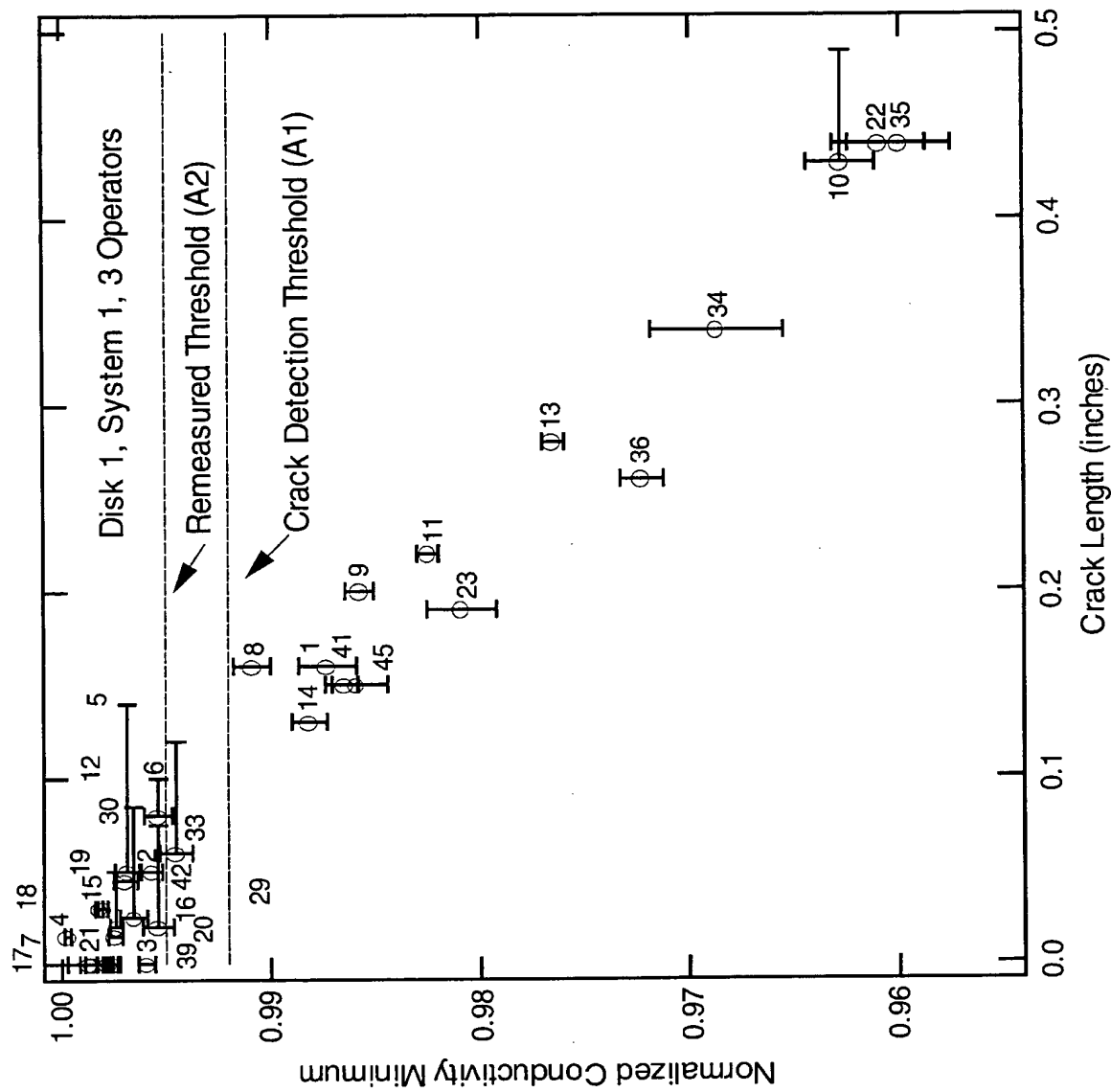


FIG. 45a

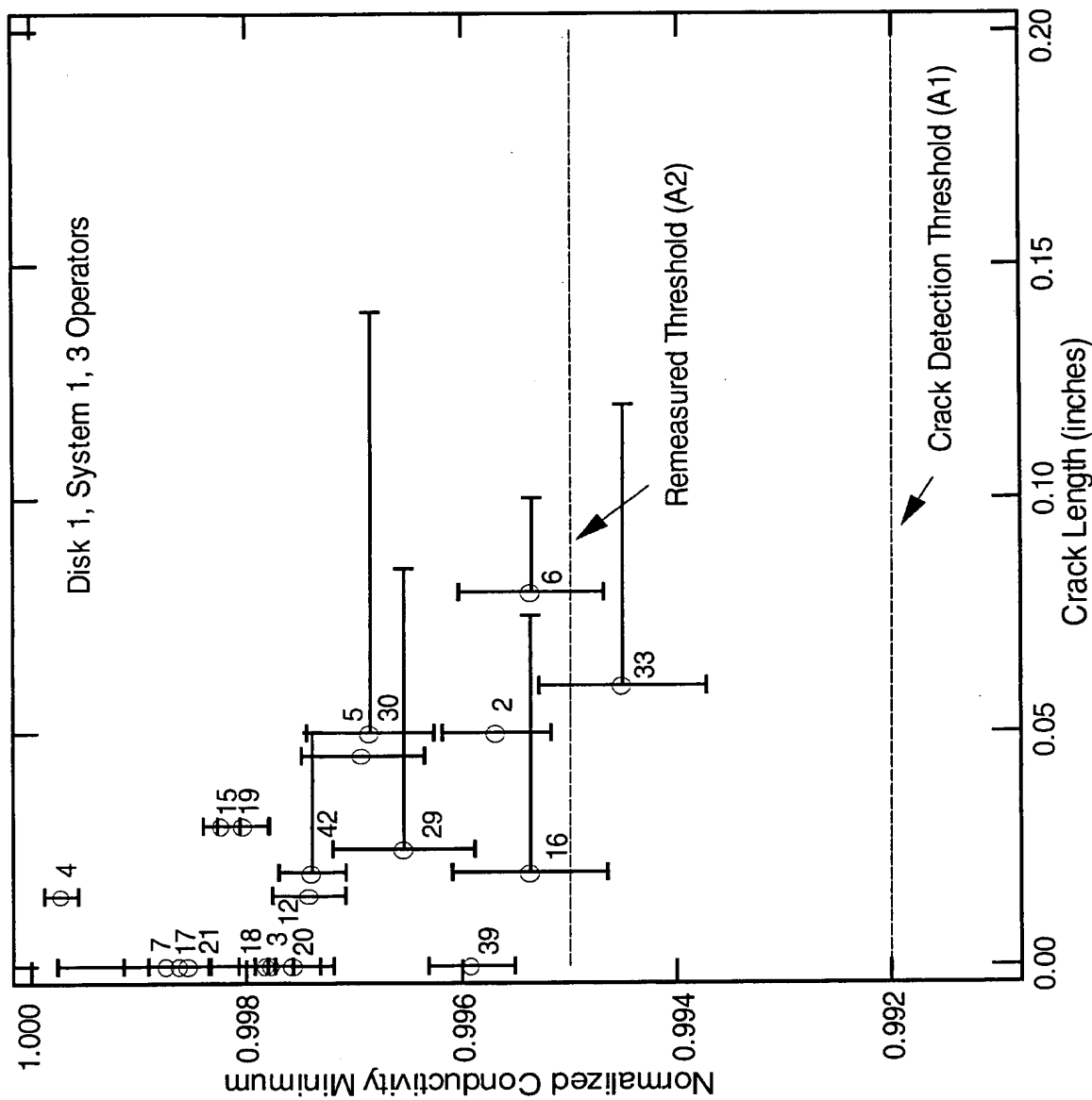


FIG. 45b

58/65

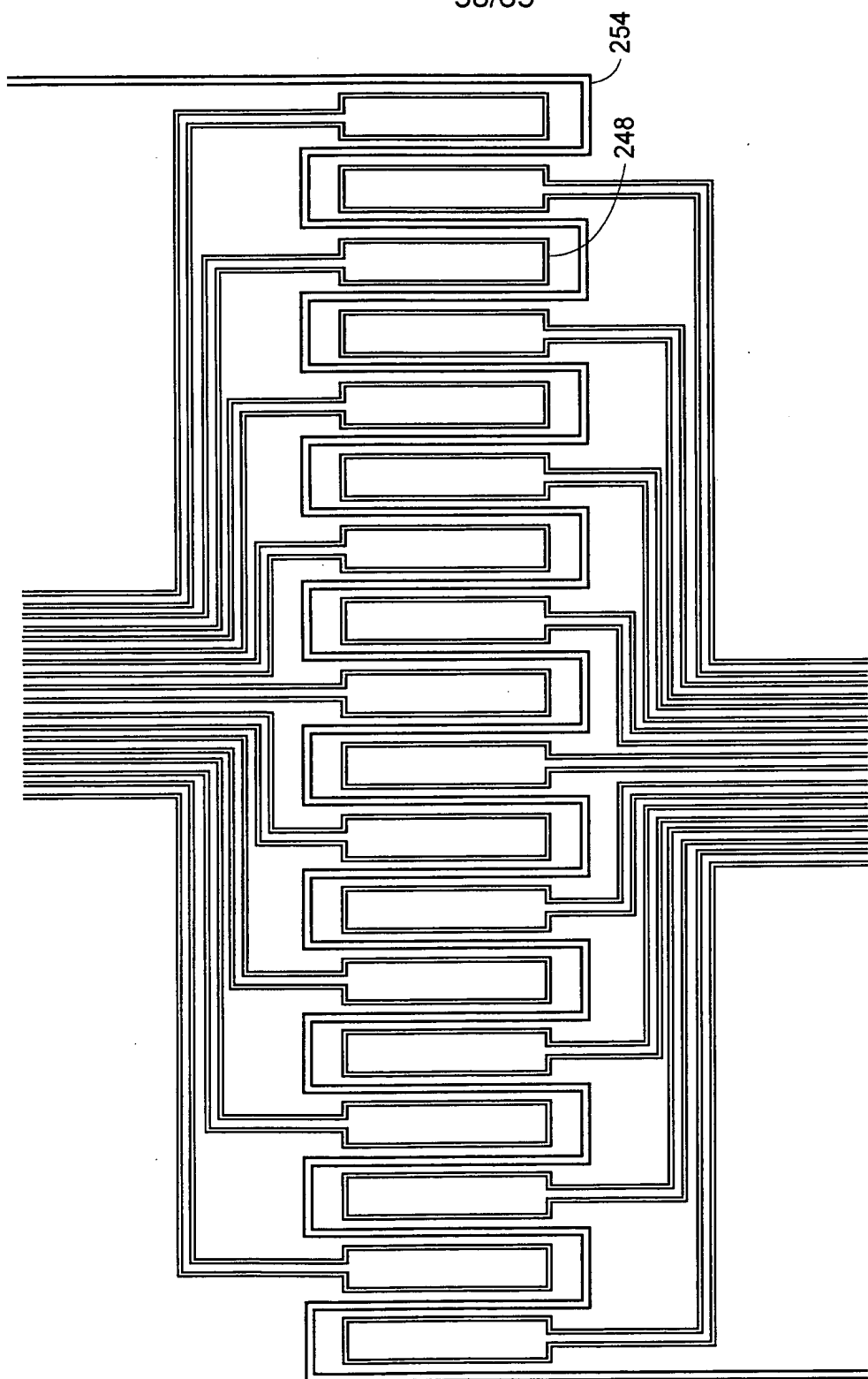


FIG. 46

59/65

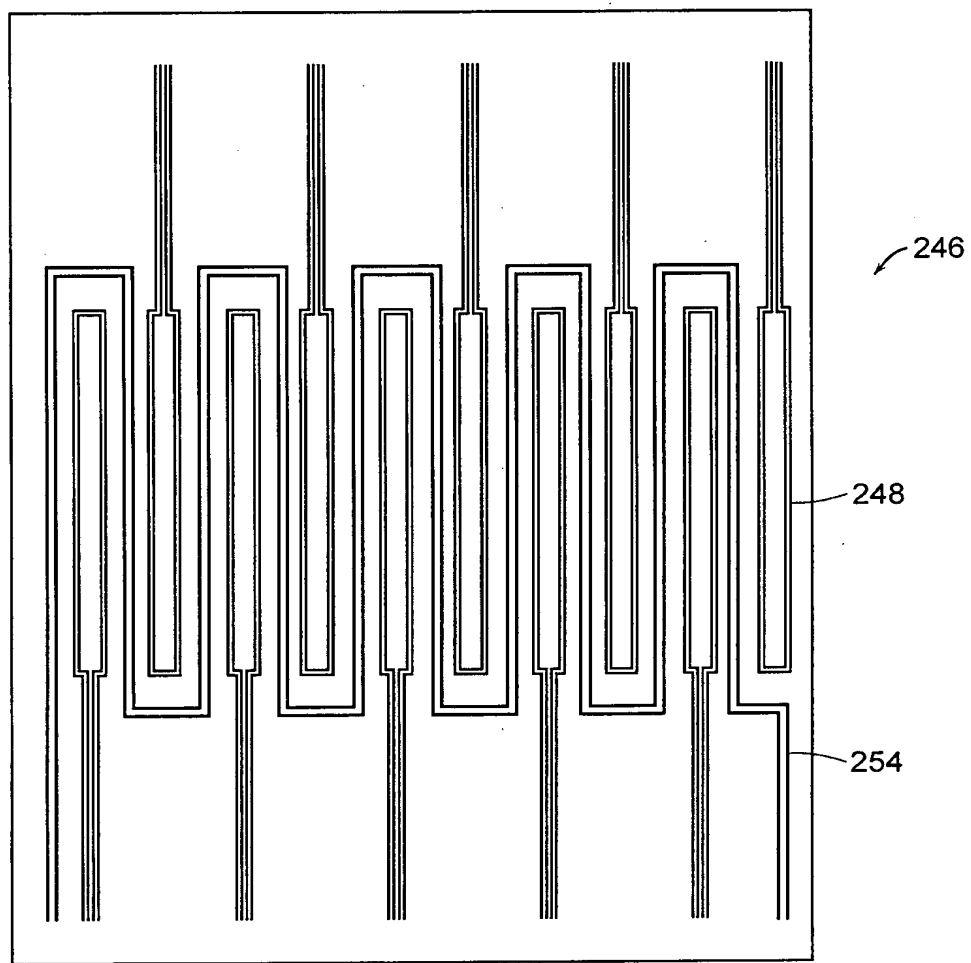


FIG. 47

60/65

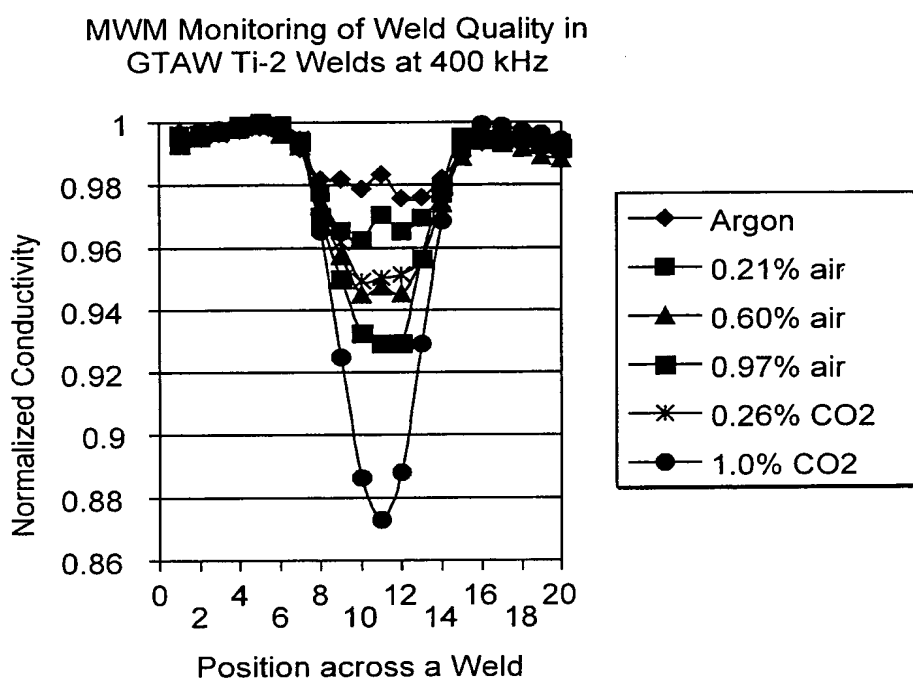


FIG. 48

61/65

Effect of Argon Contamination by  
Air on Normalized Conductivity of  
Autogeneous GTA Ti-2 Weld

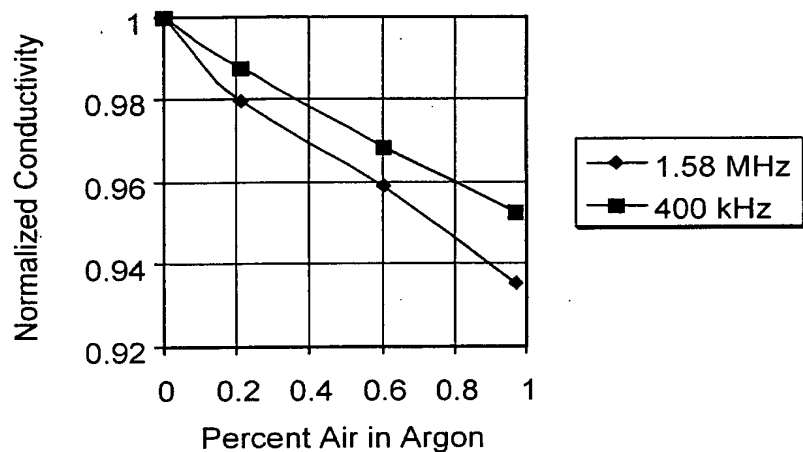


FIG. 49

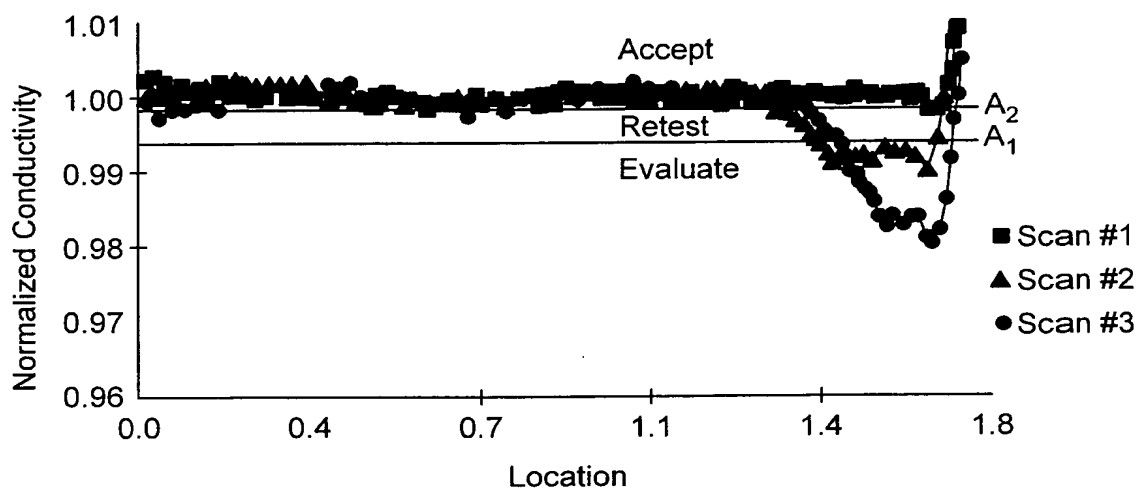


FIG. 50

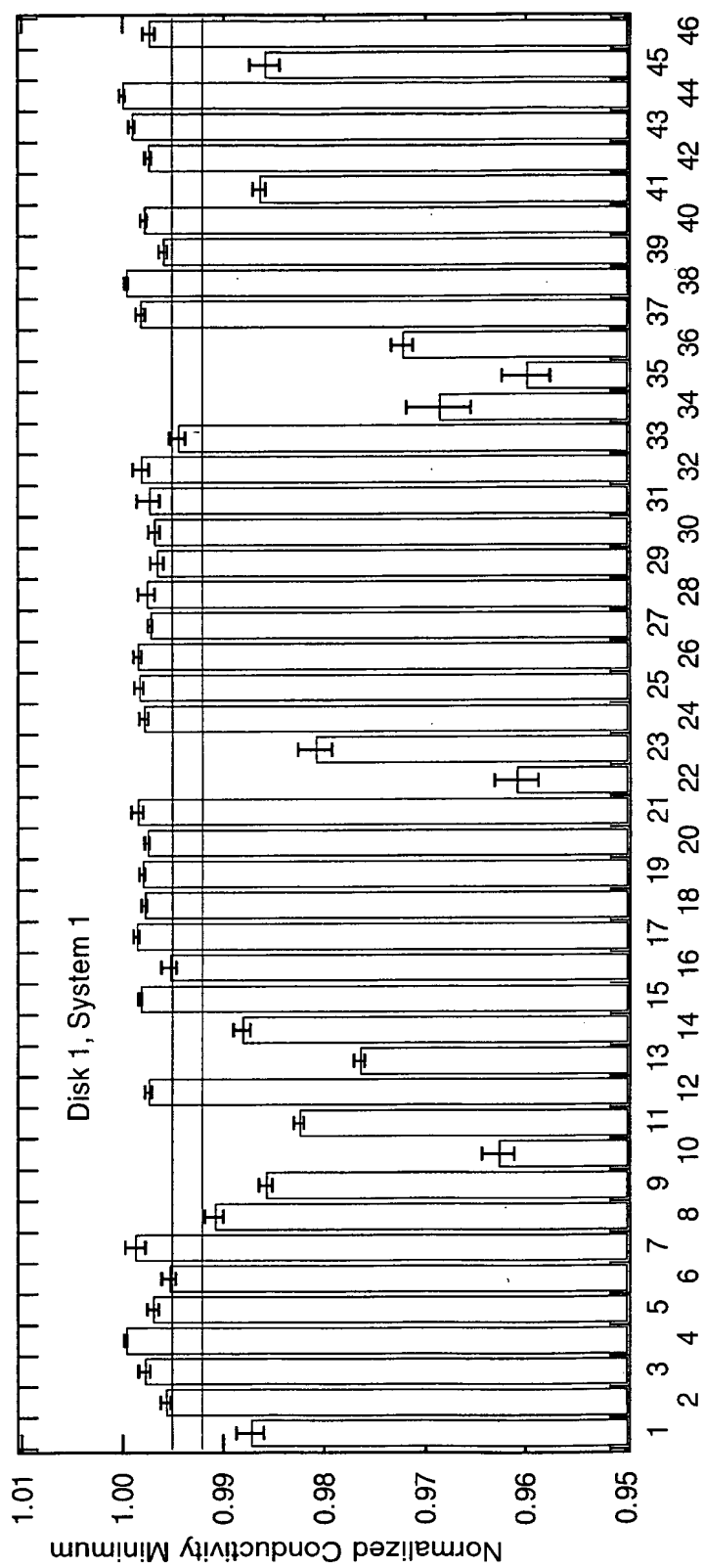


FIG. 51

63/65

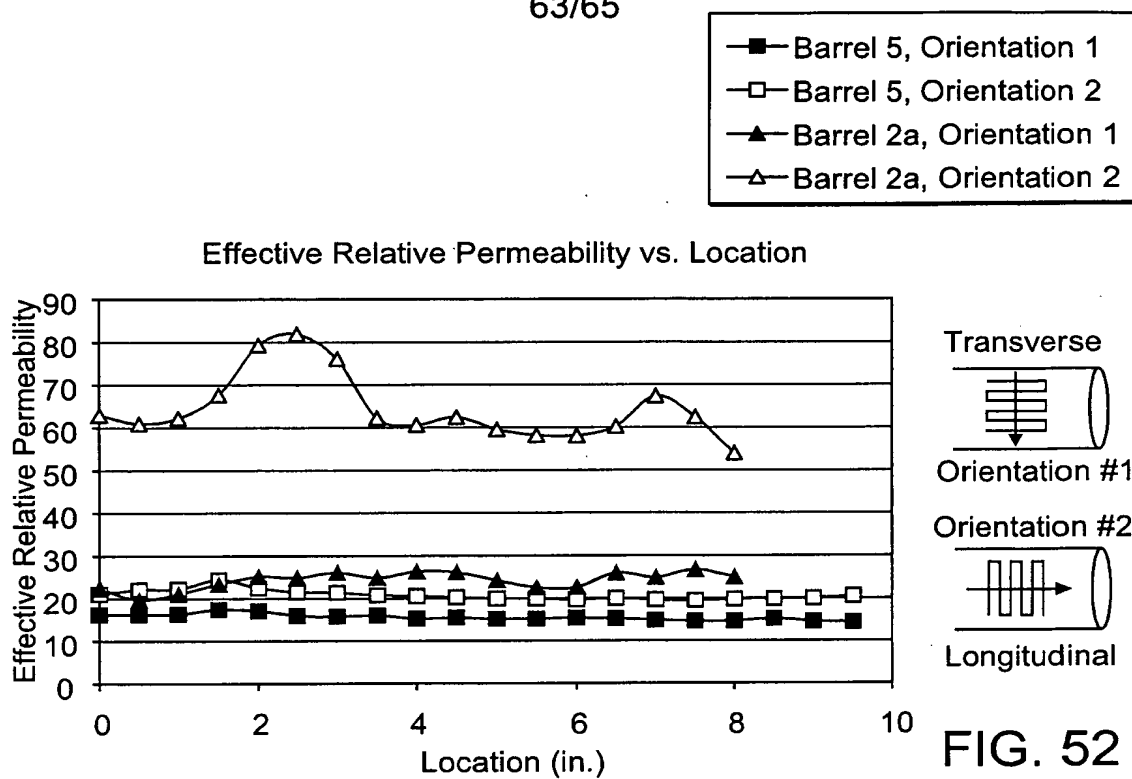


FIG. 52

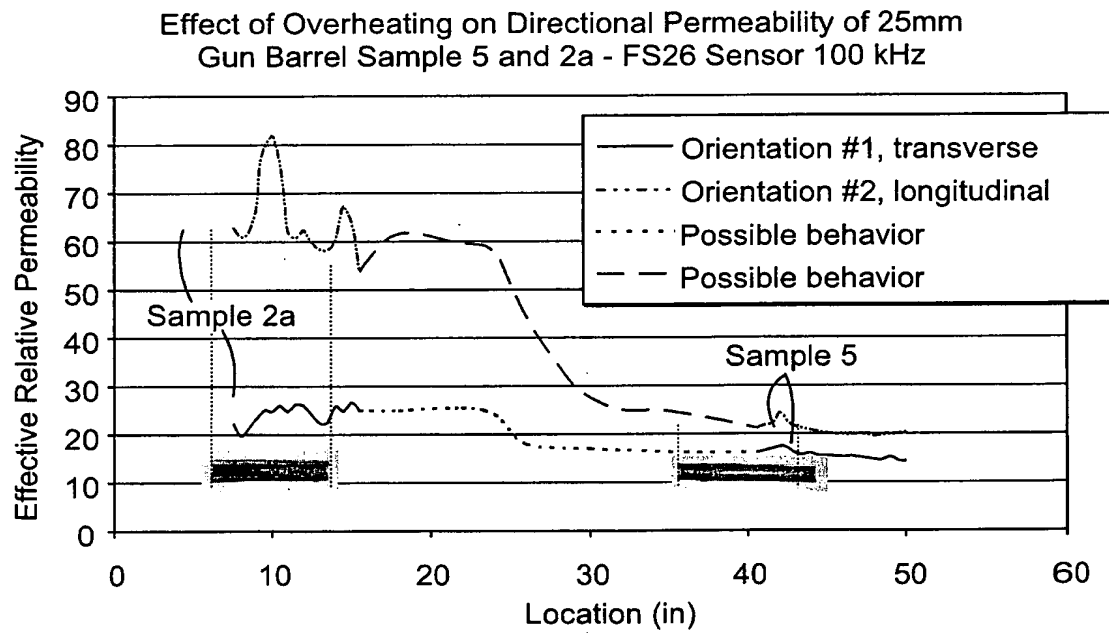


FIG. 53

64/65

FIG. 54a

FIG. 54b

FIG. 54c

FIG. 54d

FIG. 54

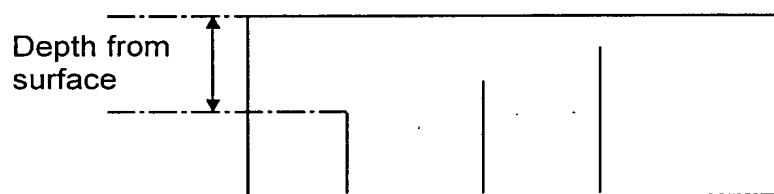


FIG. 54a

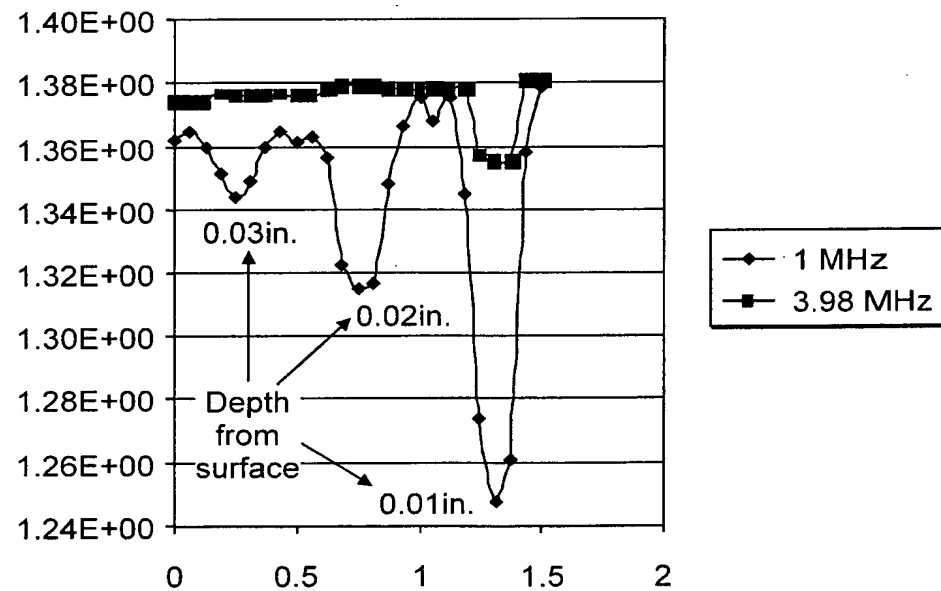


FIG. 54b

65/65

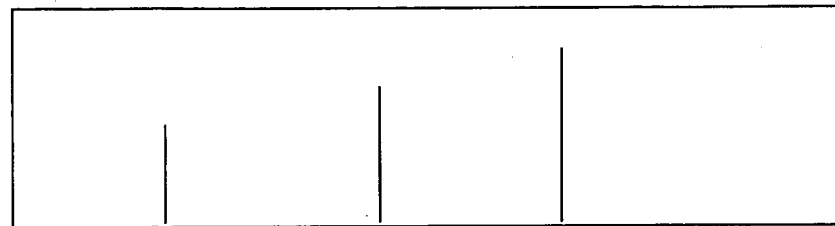


FIG. 54c

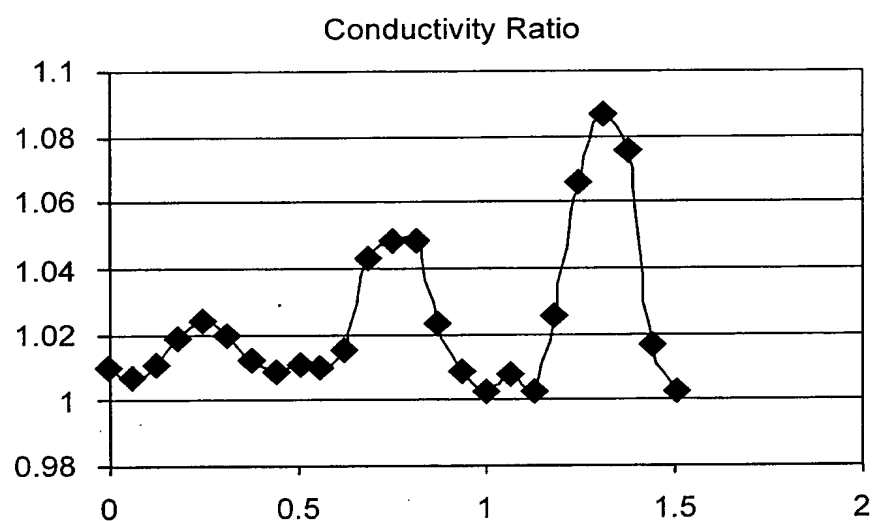


FIG. 54d